

UNIVERZITA PALACKÉHO V OLOMOUCI  
PŘÍRODOVĚDECKÁ FAKULTA  
KATEDRA GEOLOGIE



GEOFYZIKÁLNÍ PROSPEKCE RANĚ  
STŘEDOVĚKÉHO OPEVNĚNÉHO SÍDLIŠTĚ  
V MORAVIČANECH „NA SOUTOKU“ (okr. Šumperk)

Diplomová práce

Bc. Zuzana Tejkalová

Environmentální geologie (B1201)

Prezenční studium

Vedoucí práce: Mgr. Martin Moník, Ph.D.

Olomouc 2023

Prohlašuji, že jsem zadanou diplomovou práci vypracovala samostatně pod vedením pana Mgr. Martina Moníka, Ph.D. Veškerou použitou literaturu a zdroje jsem uvedla v seznamu literatury.

V Olomouci dne 3. 1. 2023

.....

Zuzana Tejkalová

## Poděkování:

Poděkování patří mému vedoucímu diplomové práce Mgr. Martinu Moníkovi, Ph.D. za pomoc při měření v terénu seznámení se studovanou lokalitou a cenné rady při zpracování laboratorních výsledků.

## **Bibliografická identifikace**

**Jméno a příjmení autora:** Bc. Zuzana Tejkalová

**Název práce:** Geofyzikální prospekce raně středověkého opevněného sídliště v Moravičanech „Na Soutoku“ (okr. Šumperk)

**Typ práce:** Diplomová práce

**Pracoviště:** Přírodovědecká fakulta Univerzity Palackého, Katedra geologie

**Vedoucí práce:** Mgr. Martin Moník, Ph.D.

**Rok obhajoby práce:** 2023

**Abstrakt:** Tato práce se zabývá geofyzikálním průzkumem raně středověkého opevněného sídliště v Moravičanech na Soutoku za použití elektrické odporové tomografie (ERT) a dipolového elektromagnetického profilování (DEMP). Systémem ARES (ERT) byl změřen měrný odpor hornin a přístrojem CMD-4 a CMD-Mini Explorer (DEMP) byla změřena vodivost horninového podloží. Cílem práce bylo lokalizovat průběh opevnění, případně identifikovat další dochované objekty. Výsledná geofyzikální data byla srovnávána s dřívějšími publikovanými i nepublikovanými výzkumy. Porovnáním výsledků z jednotlivých měření, byla identifikována nevhodnější geofyzikální metoda pro danou problematiku.

**Klíčová slova:** Moravičany „Na Soutoku“, geofyzika, odporová tomografie (ERT), dipolové elektromagnetické profilování (DEMP), archeologie

**Jazyk:** Český

**Počet stran:** 56

**Počet příloh:** 4

## **Bibliographic identification**

**Author's first name and surname:** Zuzana Tejkalová

**Title:** Geophysical Prospection of Early Middle Ages fortified settlement in Moravičany at the Soutok

**Type of thesis:** Graduation thesis

**Institution:** Palacký University in Olomouc, Faculty of Science, Department of Geology

**Supervisor:** Mgr. Martin Moník, Ph.D.

**The year of presentation:** 2023

**Abstract:** This thesis deals with the geophysical survey of the fortified settlemet area of Early Middle Age in Moravičany at the Soutok with the application of eleectrical resistivity tomography (ERT) and dipole electromagnetic profiling (DEMP). The reisistivity of the rocks was measured by the ARES systém (ERT) and the conductivity of the rocks was measured by the CMD-4 and CMD-Mini Explorer. The aim of the thesis was to locate the course of the fortification or other surviving objects. Geophysical data were compared with published and unpublished data. By comparing the results from individual measurements was identified the most suitable geophysical method for the given problem.

**Key words:** Moravičany at the Soutok, geophysics, electrical resistivity tomography (ERT), dipole electromagnetic profiling (DEMP), archaeology

**Language:** Czech

**Number of pages:** 57

**Number of appendices:** 4

## **Obsah**

1. Úvod.....	7
2. Geomorfologie a geologie oblasti prospekce.....	8
2.1. Geomorfologie .....	8
2.1.1. Mohelnická brázda .....	9
2.2. Geologie.....	12
2.2.1. Mohelnická brázda a její okrsky.....	13
3. Moravičany „Na Soutoku“ .....	15
3.1. Archeologické výzkumy dané oblasti.....	15
3.1.1. Sondáže .....	17
3.1.2. Geofyzikální prospekce .....	19
4. Geofyzikální metody .....	22
4.1. Geofyzika v archeologii.....	22
4.1.1. Magnetometrie .....	23
4.1.2. Geoelektrické metody .....	24
4.1.3. Seismika .....	30
5. Metodika.....	31
5.1. Lokalita a vytipování prospekčních oblastí .....	31
5.2. Terénní etapa.....	32
5.2.1. ARES .....	33
5.2.2. CMD-4 .....	33
5.2.3. CMD-Mini Explorer .....	33
5.3. Laboratorní etapa .....	34
6. Výsledky.....	35
6.1. Elektrická odporová tomografie.....	35
6.1.1. Profily P1 – P4 .....	35
6.1.2. Profil P5 .....	37
6.1.3. Profil P6 .....	38
6.2. Dipólové elektromagnetické profilování .....	39
6.2.1. Plocha M1 .....	39
6.2.2 Profily M2 – M4.....	40
7. Diskuze a závěr.....	42
8. Seznam literatury .....	44
9. Internetové zdroje .....	46
10. Seznam obrázků .....	47

11. Přílohy .....	48
Příloha 1 – Sondové nálezy .....	49
Příloha 2 – Geofyzikální nálezy z let 2013, 2014 a 2016.....	51
Příloha 3 – GPS souřadnice a naměřené nadmořské výšky.....	53
Příloha 4 – DEMP (M2 – M4).....	54

## **1. Úvod**

V Moravičanech nedaleko soutoku Moravy s přítokem Třebůvky, kolem kostela sv. Jiří v trati, se uvažuje o existenci středohradištního opevnění. Jeho pozůstatky byly identifikovány archeologickým výzkumem. Bylo zaznamenáno také intenzivní osídlení, které se vyvíjelo v průběhu 9. – 12. století. V prostoru současného hřbitova, fary a školy byly identifikovány kosterní pozůstatky (kostrové pohřby – odkryto 31 hrobů), nálezy zlatých a bronzových šperků (esovitých záúšnic) a zbraní. Zaznamenáno bylo také mocné kulturní souvrství s pozůstatky kamenných staveb, případně zahloubených objektů. Během 12. století byla nekropole nepochybně funkční, z čehož byla vyslovena domněnka o existenci malohradištní fortifikace. Na základě poznatků je možné tedy předpokládat výskyt opevněného ústředí v Moravičanech (Kouřil a Gryc, 2014).

Cílem diplomové práce je vtipování ploch vhodných ke geofyzikální prospekci, různými geofyzikálními metodami. Výsledkem by měla být rekonstrukce raně středověké hradby, případně identifikace zahloubených objektů a staveb v rámci sídliště. Jednotlivá měření budou porovnána a bude identifikována geofyzikální metoda nevhodnější pro danou problematiku.

## **2. Geomorfologie a geologie oblasti prospekce**

### **2.1. Geomorfologie**

Podle Demka a Mackovčina (2014) má každá geomorfologická jednotka individuální charakteristiku založenou především na geologických a morfostrukturálních hledisech. Dále může být jejich znakem podobná relativní výšková členitost, stejná geneze georeliéfu, případně stejná historie geomorfologického vývoje atd. Hierarchicky nejvyššími geomorfologickými jednotkami České republiky jsou geomorfologické provincie, které se dále dělí na geomorfologické soustavy, jichž v České republice existuje 10 (Tab. 1). Dalšími geomorfologickými podjednotkami jsou geomorfologické podsoustavy, celky, podcelky a okrsky (Bína a Demek, 2012).

*Tab. 1 Přehled geomorfologických provincií a soustav České republiky (Demek a Mackovčin, 2014), upraveno.*

PROVINCIE	SOUSTAVY
Česká vysočina	I. Šumavská
	II. Česko-moravská
	III. Krušnohorská
	IV. Krkonoško-jesenická
	V. Poberounská
	VI. Česká tabule
Středoevropská nížina	VII. Středopolské nížiny
Západní Karpaty	VIII. Vněkarpatské sníženiny
	IX. Vnější Západní Karpaty
Západopanonská pánev	X. Vídeňská pánev

Tyto geomorfologické jednotky jsou podrobněji znázorněny na obr. 1. Provincie jsou zde značeny písmeny A – D, soustavy jsou značeny velkými písmeny jejich názvu a podsoustavy jsou značeny malými písmeny jejich názvu (Bína a Demek, 2012).



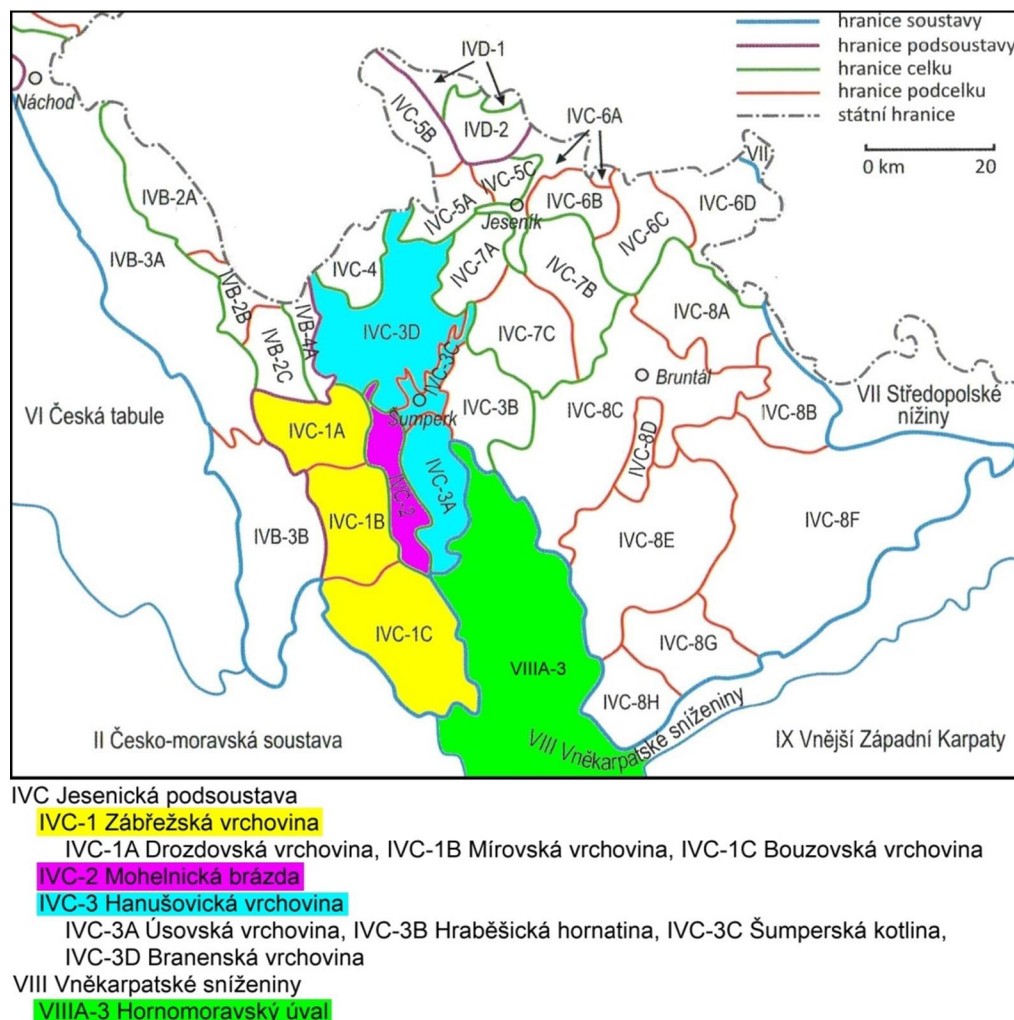
Obr. 1. Vyšší geomorfologické jednotky České republiky (Bína a Demek, 2012), upraveno.

Studovaná oblast Moravičany „Na Soutoku“, spadá podle geomorfologického členění České republiky do celku Mohelnické brázdy. Tento celek, který náleží do Jesenické podsostavy, dále řadíme do Krkonošsko-jesenické soustavy spadající pod provincii České vysociny (Demek a Mackovčin, 2014).

### 2.1.1. Mohelnická brázda

Podle Demka a Mackovčina (2014) řadíme Mohelnickou brázdu, z geomorfologického hlediska, mezi vhloubené tvary subaerického reliéfu. Je to úzká sníženina, která má protáhlý tvar a ploché dno. Brázda je po všech stranách omezena vyšším georeliéfem.

Mohelnická brázda se rozkládá mezi Zábřežskou vrchovinou na západě, Hanušovickou vrchovinou na východě a Hornomoravským úvalem na jihu (obr. 2). Plocha Mohelnické brázdy je  $122,16 \text{ km}^2$ , má střední výšku 288,8 m a střední sklon  $2^\circ 08'$ . Její šířka je 3–5 km. Celou sníženinou protéká řeka Morava, v jejíž jihozápadní části se vytvořily náplavové kužely Moravské Sázavy, Mírovky a Třebůvky, která protéká v blízkosti prospekce (Demek a Mackovčin, 2006; Bína a Demek, 2012).



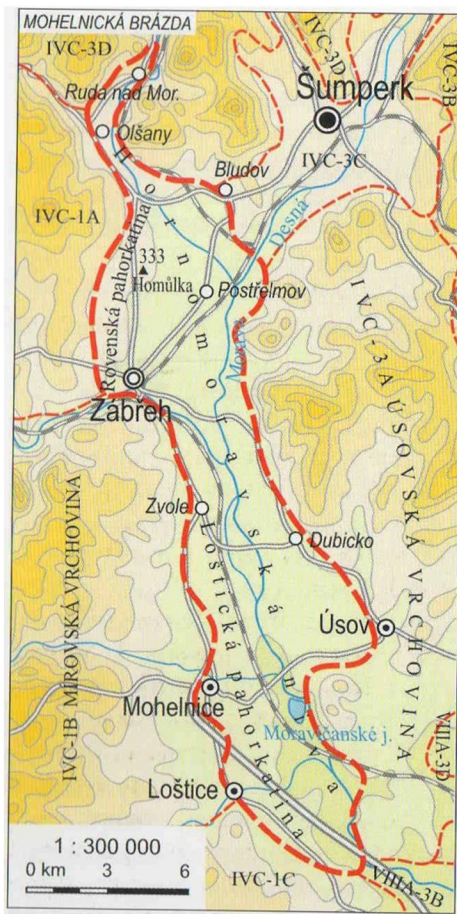
Obr. 2. Rozložení geomorfologických jednotek východní části Krkonoško-jesenické soustavy s vyznačením zájmové oblasti a jejich sousedních jednotek (Bína a Demek, 2012), upraveno.

Součástí Mohelnické brázdy jsou tři okrsky (obr. 3). Nejnižší částí je Hornomoravská niva, která tvoří osu Mohelnické brázdy, jejíž rozloha je  $86,29 \text{ km}^2$ . Je to široká náplavová rovina kolem řeky Moravy (Demek a Mackovčin, 2006). Podle Bíny a Demka (2012) je Morava provázena mrtvými rameny a jezírkami, vzhledem k tomu, že v nivě volně meandruje. Tato jezírka vznikla u Mohelnice a Moravičan v prostorech někdejší těžby štěrkopísku.

Dalším okrskem v jihozápadní části Mohelnické brázdy je Loštická pahorkatina o rozloze  $24,11 \text{ km}^2$ . Zlehka vystupuje v úzkém pruhu nad nivou Moravy, jejíž pravé přítoky zde uložily náplavové kužely (Demek a Mackovčin, 2006; Bína a Demek, 2012).

Posledním pahorkatinným okrskem Moravské brázdy je Rovenská pahorkatina, jež je plochou úpatní pahorkatinou. Její rozloha je  $11,75 \text{ km}^2$  a jejím nejvyšším vrcholem je Homůlka

333 m n. m. (Demek a Mackovčin, 2006). Obě tyto pahorkatiny jsou vymezeny pouze na pravé straně po toku řeky (Bína a Demek, 2012).



Obr. 3. Mohelnická brázda a její okrsky (Bína a Demek, 2012).

Mohelnická brázda má také vodohospodářský význam. Podle Čurdy (2001) je zdůrazněn vyhlášením Chráněné oblasti přirozené akumulace vod (CHOPAV) Kvartér řeky Moravy zaujímající téměř veškerou plochu údolní nivy Moravy rozkládající se na S mezi Zábřehem a na J mezi Řimicemi. Částečně se toto území překrývá s územím chráněné krajinné oblasti (CHKO) Litovelské Pomoraví a to mezi Stavenicemi, Mohelnicí, Moravičany, Doubravicemi, Novými Mlýny, Řimicemi a Bílou Lhotou (Čurda, 2001).

## 2.2. Geologie

Převážná část Mohelnické brázdy spadá podle geologického členění do Českého masivu (lugikum a moravosilezikum) a okrajově do Západních Karpat (Karpatská předhlubeň). Lugické horniny jsou tvořeny zejména rulami (dvojslidné, biotitické), fylity a granátickými svory vystupujícími ve staroměstském, zábřežském a svinovsko-vranovském krystaliniku (Mísař et al., 1983; Chlupáč et al., 2011). Horniny moravosilezika (zejména silezika) pak nalezneme především v širším okolí Mohelnické brázdy v podobě jemnozrných pararul, dvojslídnych svorů či grafitických fylitů. Dále se zde nacházejí také kvarcity, erlány či vápence (Mísař et al., 1983).

Lugikum je část Českého masivu nacházející se v jeho nejsevernější části, kde se dále noří pod platformní pokryv permokarbonických, mezozoických, terciérních a kvartérních sedimentů na území Německa a Polska. Východní hranice dělící lugikum od silezika je tvořena moravskoslezským zlomovým pásmem reprezentovaným nýznerovským a ramzovským nasunutím. Jižní hranice s bohemikem je podél hlubinných zlomů labského tektonického pásma skryta pod sedimenty české křídové pánve (Chlupáč et al., 2011; Mísař et al., 1983). Z geologických jednotek lugika, které zde tvoří podstatnou část Jizerských hor, Krkonoš a Orlických hor, sem pak patří krkonošsko-jizerské krystalinikum, lužický pluton, krkonošsko-jizerský masiv, orlicko-sněžnické krystalinikum, zábřežské krystalinikum a staroměstské krystalinikum (Chlupáč et al., 2002).

Zábřežské a staroměstské krystalinikum zasahuje do severní části mohelnické brázdy. Podle Svobody (1964) je staroměstské krystalinikum (dříve staroměstské svorové pásmo) reprezentováno několika výraznými pruhy krystalických břidlic. Dalším charakteristickým znakem tohoto krystalinika jsou ložní žíly tonalitů, drobné ostrůvky hadců a s nimi amfibolity a lampofyry. Ekvivalentem staroměstského krystalinika je zábřežské krystalinikum (dříve zábřežská série), což je komplex nerovnoměrně metamorfovaných hornin. Hlavní část je tvořena monotónními komplexy pararul, svorů, příp. biotitických fylitů (Svoboda et al., 1964; Chlupáč et al., 2011).

Moravosilezikum je nejvýchodnější částí Českého masivu nořící se na východě do podloží západních Karpat a na západě omezeno moravsko-slezským zlomovým pásmem (Mísař et al., 1983). Geologickými jednotkami moravosilezika jsou brunovistulikum, moravikum, silezikum, žulovský pluton a moravskoslezské paleozoikum (Chlupáč et al., 2011). Pro oblast mohelnické brázdy jsou důležité jednotky silezika a to desenská a keprnická klenba. Desenská

klenba se vyznačuje slabě migmatizovanými biotitickými a dvojslínými rulami s vložkami erlánů, kvarcitů atd. Keprnická klenba je tvořena monotónním komplexem biotitických pararul a pestrou sérií, které je tvořena především svory a rulami s vložkami krystalických vápenců (Svoboda et al., 1964; Mísař et al., 1983; Chlupáč et al., 2011).

### 2.2.1. Mohelnická brázda a její okrsky

Mohelnická brázda, jež je úzká protáhlá sníženina, vznikla v pliocénu poklesem kera v SSZ-JJV směru (Demek a Mackovčin, 2006). Brázda je vyplněná převážně pliocenními (jezerními) a čtvrtohorními (fluviálními) usazeninami, jejichž mocnost je přes 300 m (Bína a Demek, 2012). Také podle Čurdy (2001) je tvořena pliopleistocenními sedimenty. Zejména pliopleistocenními jíly, píska případně štěrkopísky. Tyto sedimenty jsou překryty holocenními fluviálními sedimenty.

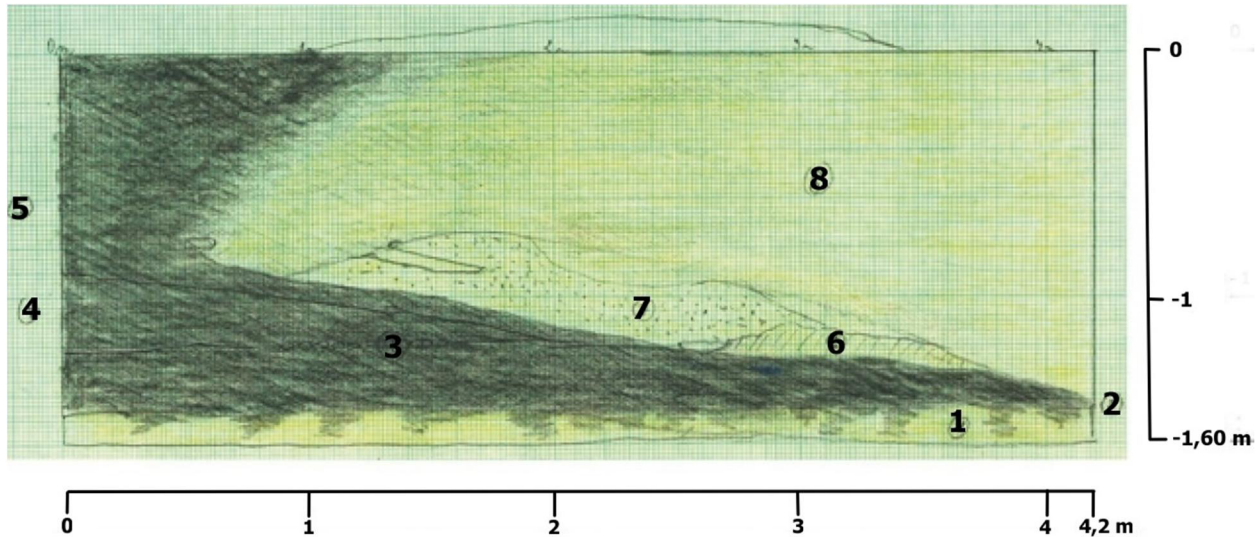
Hornomoravská niva se podle Demka a Mackovčina (2006) skládá ze spodního pleistocenního štěrkopísčitého souvrství a vrchního holocenního souvrství hlinitých písků a hlín.

Horniny paleozoického a proterozoického stáří, nacházející se při úpatí zlomového okraje Zábřežské vrchoviny, tvoří v Loštické pahorkatině pruh stupňovitě pokleslých ker. Částečně jsou překryty pliocenními usazeninami a většinou spraší (Demek a Mackovčin, 2006). Také zde byly uloženy náplavové kužely Třebůvky a Mírovky (Demek a Mackovčin, 2006; Bína a Demek, 2011).

Rovenská pahorkatina je tvořena pásem pokleslých ker krystalinika Zábřežské vrchoviny. Při úpatí jejího zlomového svahu jsou kry překryty pleistocenními kongeliflukčními sedimenty, většinou jsou však překryty spraší (Demek a Mackovčin, 2006). Náplavový kužel zde vznikl vyústěním Moravské Sázavy do Mohelnické brázdy (Bína a Demek, 2011).

V roce 1963 byly na zájmovém území položeny sondy, jejichž cíli bylo zjištění stratigrafie. Sonda S1/63 dosáhla v hloubce 1,4–1,7 m úrovně štěrkového podloží, na němž ležela 0,06 m tenká vrstva žluté sprašové hlíny. Stratigrafii zde pak uzavírala ornice o mocnosti mezi 0,1–0,55 m (Faltýnek et al., 2018). Sonda S2/63 (obr. 4) zachytily v hloubce 1,5 m podloží v podobě jílovité hlíny. Na této vrstvě ležela lokálně tenká vrstva štěrku (povodeň?). V polovině sondy zde vykliňovala hnědočerná jílovitá hlína s vrstvou jemného žlutého písku (0,35 m), která převrstvovala vydutou vrstvu hrubšího štěrku ležícího na vrstvě černé jílovité hlíny. Nad těmito

vrstvami byl vybudován fortifikační prvek v podobě jednoduchého valu (žlutošedý písčitý násyp) bez vnitřní konstrukce (Faltýnek et al., 2018).

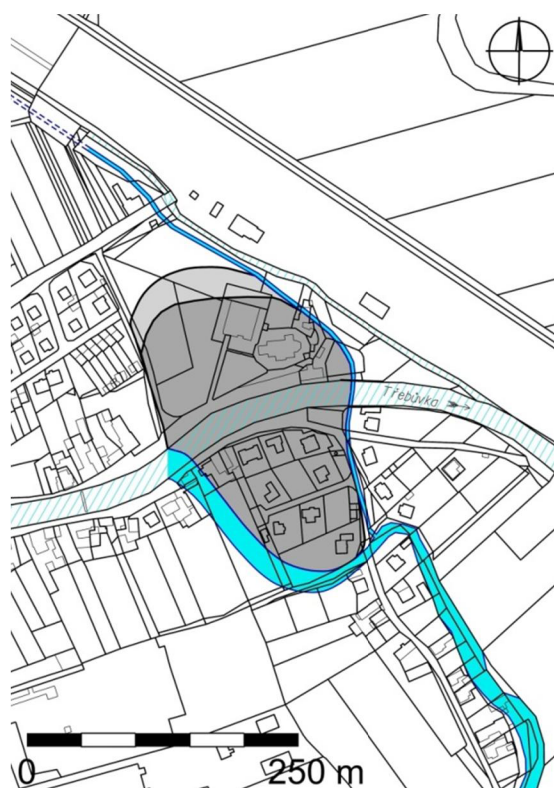


Obr. 4. Profil sondy S1/63. 1) podložní jílovitá hlina, 2) černá jílovitá hlina, 3) tvořící pruh napříč sondou, 4) hnědočerná jílovitá hlina, 5) tmavě černá kyprá kulturní vrstva, 6) vrstva hrubšího štěrku, 7) jemný žlutý písek, 8) žlutošedá písčitá hlina (Faltýnek et al., 2018), upraveno.

Dle hydrogeologické prozkoumanosti Mohelnické brázdy byla v předkvartérním reliéfu potvrzena existence několika depresí vyplněných štěrkem, písky a hlínami. Vzhledem k výskytu řeky Moravy protékající středem Mohelnické brázdy byl sedimentární materiál do této oblasti transportován ze slezska (až od Kralického Sněžníku) a ze zábřežské skupiny (Čurda, 2001).

### 3. Moravičany „Na Soutoku“

Lokalita kolem kostela sv. Jiří v trati „Na Soutoku“ v Moravičanech je polykulturní pravěké a středověké sídliště rozkládající se na sprašovém návrší na levém břehu řeky Třebůvky (obr. 5). Farní kostel sv. Jiří stojí na tomto sprašovém návrší spolu s původním hřbitovem, farou s hospodářským dvorem, budovou staré školy a rodinnými domy se zahradami (Faltýnek, 2018). Lokalita se však rozkládá i na jejím pravém břehu (dnes oblast zastavěná rodinnými domy) naproti kostelu sv. Jiří s původním hřbitovem (Šlézar, 2017). Podle Faltýnka et al. (2018) se lokalita řadí mezi fortifikovaná sídliště (hradiště?) z dob raného středověku. Tato oblast v okolí kostela sv. Jiří je kulturní památka č. 41639/8-2204 – hradiště a pohřebiště, která je chráněna od roku 1958 (Kalábková, 2016).

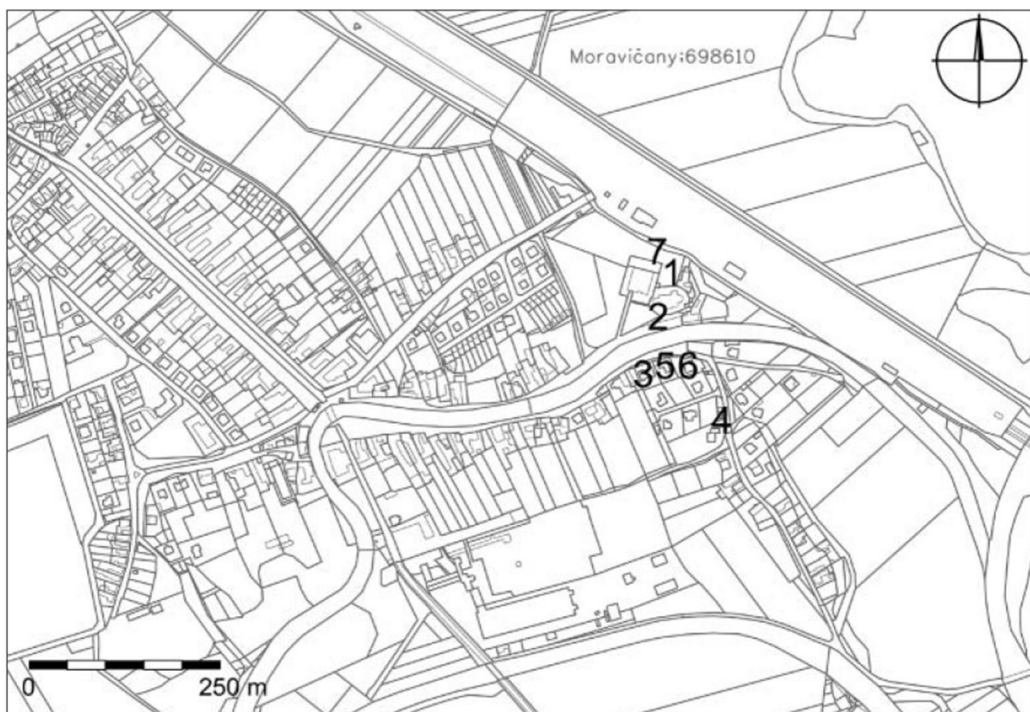


Obr. 5: Přibližná rekonstrukce rozlohy hradiště (?). Tmavě šedá – opevněný areál, světle šedá – osídlený areál mimo opevnění podle Šlézara (2017).

#### 3.1. Archeologické výzkumy dané oblasti

Lokalita „Na Soutoku“ je známá od 50. let 20. století. Zdejší farář Josef Novák a Jiří Adamec tu prováděli zejména povrchové sběry (obr. 6: 1), při kterých byly nalezeny zlomky nádob z pravěku a ze středověku (Kalábková, 2016). Během let 1953 – 1973 docházelo

k různým nálezmům, u nichž však nejsou doloženy nálezové okolnosti, případně jsou u nich popsána jen místa nálezu. Lze především o nálezy při kopání hrobů, z výkopů pro vodovod a jámu na vápno na farském dvoře, nálezy v okolí kostela či na hřbitově, sběry z různých výkopů v okolí školy atd. (Faltýnek, 2018). V roce 1960 a 1963 provedl Jindra Nekvasil (Archeologický ústav Brno) výzkumy sondami (obr. 6: 2, 3, 4). Nejdříve na levém břehu Třebůvky, později i na pravém břehu (Šlézar, 2017). V letech 1985 – 1987 došlo k dalším větším nálezmům při novostavbách (obr. 6: 6, 7) získaných od stavebníka Karla Faltýnka a amatérského archeologa Vladimíra Kapla. Vzhledem k nepřítomnosti odborného pracovníka chybí k těmto nálezmům řádná dokumentace (Šlézar, 2017). Drobná akce proběhla i v roce 2010 (obr. 6: 2) za dohledu Archeologického centra v Olomouci při stavbě kanalizace (Faltýnek et al., 2018). V letech 2013 (obr. 6: 7) a 2014 (obr. 6: 2) pak proběhly dvě rozsáhlejší etapy archeologického výzkumu pod záštitou Národního památkového ústavu (Šlézar, 2017).



Obr. 6. Polohy archeologických výzkumů v Moravičanech „Na Soutoku“: 1) sběry na hřbitově, farče a na farském dvoře, 2) výzkum z roku 1960, 2010 a 2014, 3) výzkum z roku 1963, 4) výzkum z roku 1963, 5) sběr z roku 1985, 6) sběr z let 1986-1987, 7) výzkum Národního památkového ústavu z roku 2013 (Šlézar, 2017).

### 3.1.1. Sondáže

Podle Faltýnka et al. (2018) byla zjišťovací sonda S1/60 o rozměrech  $7 \times 3$  m (obr. 7) položena v roce 1960 nedaleko bočního vchodu do kostela při jižní stravě hřbitovní zdi. Stratigraficky zde byly rozlišeny 3 základní úrovně. Šlo o ornici (0,25 m), kulturní souvrství (1,30–1,40 m) a podloží do hloubky 1,55–1,65 m. Nekvasil následně tyto úrovně blíže rozčlenil po mechanických vrstvách silných 0,25 m (Tab. 2). Nekvasil zde prozkoumal kostrové hroby (Příloha 1. 1) patrového pohřebiště (11. až počátek 13. století). Tyto hroby, které byly zahloubeny do sídlištní situace ve 150cm mocném kulturním souvrství, obsahovaly kultury lužických popelnicových polí, doby římské a raného středověku (Šlézar, 2017).

*Tab. 2. Charakteristika mechanicky rozčleněných vrstev Jindrou Nekvasilem (Faltýnek et al., 2018), upraveno.*

Vrstva	Hloubka	Charakteristika	Nálezy
I	0–0,25 m	ornice s četnými kameny	- zlomky kostí (ojediněle) - recentní střepy a keramika v druhotné poloze
II	0,25–0,50 m		- ojediněle kameny, zvířecí kosti, zlomky mazanice
III	0,50–0,75 m		- keramika, zlomky lidských kostí
IV	0,75–1,00 m	tmavě hnědošedá drolivá humózní hlína (1,55–1,65 hnědá sprašovitá hlína)	- od 0,9 m první hroby - keramika
V	1,00–1,25 m		- pohřby, kumulace lidských kostí
VI	1,25–1,65 m		- pohřby

Sondáž z roku 1963 (obr. 7), která proběhla na pravém břehu Třebůvky, potvrdila mohutné 150 cm souvrství s různými kulturními vrstvami (moravská malovaná keramika, kultura lužických popelnicových polí, doba římské a raný středověk). Toto souvrství bylo potvrzeno ve třech sondách (Šlézar, 2017). Pravěké a raně středověké sídlištní situace byly zachyceny první sondou S1/63 o rozměrech  $20 \times 4$  m. Položena byla podél okraje cesty, která lemuje břeh Třebůvky. Z této sondy bylo také získáno 121 ks středověké keramiky (Faltýnek et al., 2018).

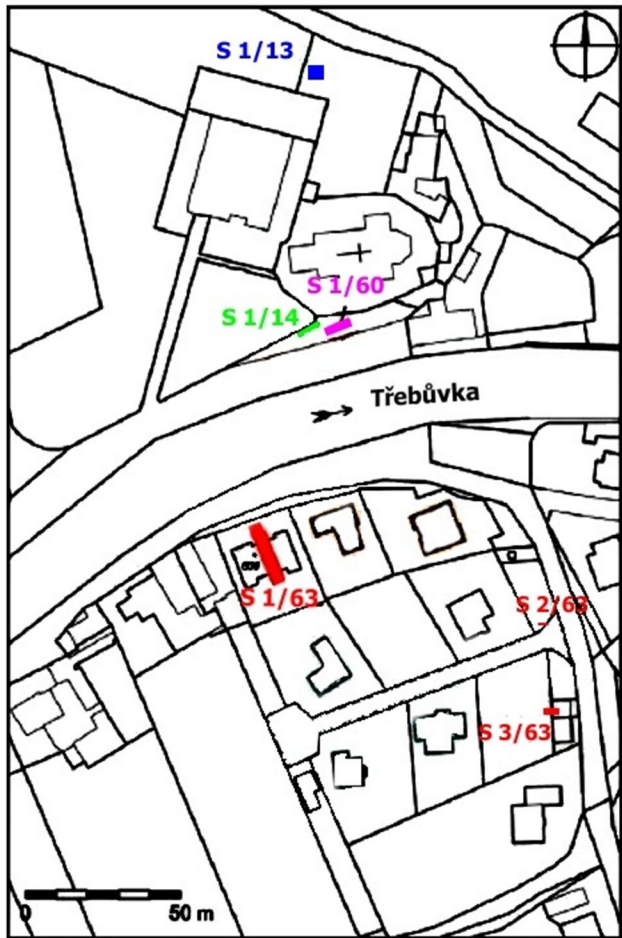
Další dvě sondy S2/63 a S3/63 byly položeny v blízkosti západního okraje cesty přibližně 60 m a 90 m od břehu Třebůvky (obr. 7). Zbytky raně středověkého valu z mladší doby hradištní pak byly zachyceny těmito dvěma sondami o rozměrech  $4,3 \times 0,9$  m (S2/63) a  $3 \times 1,5$  m (S3/63). V tomto prostoru byly provedeny sběry již v roce 1954, 1957 a 1961 s objevením keramiky, zahloubených objektů (zemnice?), mazanice, zlomky mlýnských kamenů a zvířecích kostí (Šlézar, 2017).

V roce 2013 byla vyhloubena sonda S1/13 (obr. 7), jejíž rozměry byly  $5 \times 5,5$  m. Sonda se nacházela u severozápadního vstupu na hřbitov, vzniklého v roce 1992 rozšířením hřbitova a dosahovala hloubky 2,4 m (Faltýnek et al., 2018). Cílem výzkumu bylo využití nového prostoru k pohřbívání. V hloubce 1,5 m zde byl zjištěn zánikový horizont, který byl indikován kamennou destrukcí s obsahem mazanice a keramiky (z počátku 13. století, Příloha 1. 2). Intruze starší mladohradištní a keramiky ve vrstvách svědčí o dlouhodobém osídlení. Nejintenzivnější osídlení spadá však do období kultury lužických popelnicových polí (Faltýnek et al., 2018).

V roce 2014 byla vyhloubena sonda S1/14 (obr. 7, Příloha 1. 3), západním směrem od sondy z roku 1960 S1/60, která měla rozměry  $8 \times 2$  m (Šlézar, 2017). Sonda byla rozdělena na část jihozápadní a část severovýchodní s 2 m kontrolním blokem uprostřed.

V jihozápadní části byla téměř po celé délce zaznamenána 0,20 – 0,25 m mocná novověká vrstva kamenů s fragmenty malt a vápna. U lokálního výskytu vápna nebylo jasné, zda jde o destrukci, či zbytek pochůzné úpravy související se zdí. Pod ní se nacházela tmavě šedá písčitá jílovitá hlína obsahující keramiku 15. – 16. století s příměsí keramiky ze 13. a 14. století. Tato keramika se vyskytuje i v mohutné vrstvě šedočerné, písčitojílovité hlíně pod ní, která dosahuje do hloubky cca 1,4 – 1,7 m. Převažuje zde také podíl pravěkých a raně středověkých střepů (Faltýnek et al., 2018).

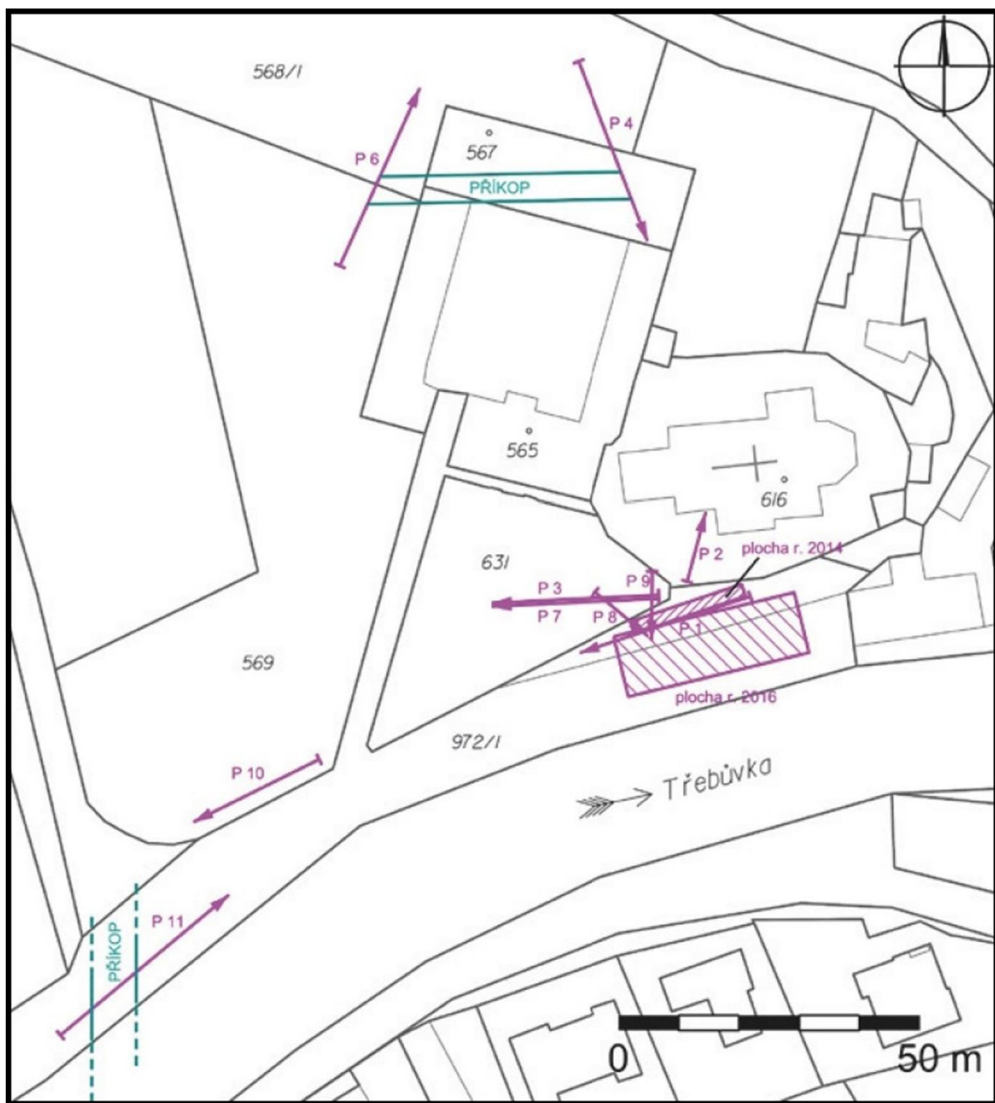
V severovýchodní části sondy dosahující do hloubky 1,25 – 1,55 cm byly nalezeny kostrové hroby (Příloha 1. 3). Ve vyšších vrstvách se pak nahodile vyskytovaly kumulace kostí, keramika 14. století a dvě železné šípky (Faltýnek et al., 2018).



Obr. 7. Polohy sondáží z roku 1960 (fialová), 1963 (červená), 2013 (modrá), 2014 (zelená)  
upraveno podle Faltýnka et al., (2018).

### 3.1.2. Geofyzikální prospekce

Podle Šlezára (2017) proběhla v okolí kostela sv. Jiří v letech 2013 a 2014 také geofyzikální prospekce (obr. 8). Za pomocí elektrického odporového profilování (ERT) bylo provedeno 9 profilových měření (P1–P4 a P6–P10) v roce 2013. Délka profilů se pohybovala od 11,5 m do 31,5 m s roztečí elektrod 0,5 m. Hloubka signálu dosahovala 2–4 m. V roce 2014 pak bylo provedeno 6 profilových měření (P11–P16), z nichž profily P12–P16 byly sestaveny do plochy (1/2014). Většina profilů byla soustředěna do farské zahrady a do jejího bližšího okolí. Pouze profily P4 a P6 byly měřeny v oblasti stodoly severně od farské zahrady. Výsledkem odporového profilování bylo zachycení různých anomalií vyhodnocených níže (Faltýnek et al., 2018).



Obr. 8. Polohy profilů (P1 – P4, P6 – P11) a ploch (I/2014 a I/2016) z geofyzikální prospekce z roku 2013, 2014 a 2016. Podle M. Monika, digitalizace J. Grégr (Faltýnek et al., 2018).

Na profilu P1 byla zachycena úroveň kamenné vrstvy zachycená i v sondě S1/14. Další zaznamenané anomálie v profilech P3 a P7 pravděpodobně souvisely s výskytem stromů v blízkosti vedených profilů. Na profilech P4 a P6, nacházejících se na severní straně areálu, byly zaznamenané anomálie vyhodnoceny jako příkopy (Příloha 2. 1). Tyto příkopy dosahovaly přibližně do hloubky 2 m a šířky kolem 5 m. U profilu P4 šlo snad i o dvojitý příkop. Dále zde byl patrný zvýšený odpor, který mohl značit zasypání materiélem původní hradby (?). Profil P10 (Příloha 2. 2), jehož cílem bylo detekovat průběh možného opevněného areálu, potvrdil jen výskyt nivní hlíny s nízkým odporem, pod nimiž se nacházely říční štěrky (Faltýnek et al., 2018).

Anomálie odpovídající příkopu a možné destrukci hradby (?) byla zachycena v roce 2014 na profilu P11 (Příloha 2, 3). Příkop byl o šířce až 10 m a hloubce 2 m. Možná hradba byla o šířce 12,5 m (Šlézar, 2017). Plocha 1/2014 byla situovaná do míst sondy S1/14, která byla plánovaná v témže roce. V ploše o velikosti  $19,5 \times 2,0$  m byla objevena anomálie, která měla podobu vrstvy kamenů odkryté v následné sondě S1/14 (Faltýnek et al., 2018).

V souvislosti s objeveným etážovým pohřebištěm bylo v roce 2016 provedeno geofyzikální měření v jižním okolí sond S1/60 a S1/14 (obr. 8). Cílem tohoto výzkumu bylo lokalizovat možnou církevní stavbu. Toto měření proběhlo za pomocí georadaru (GPR), vzhledem k tomu, že plocha určená k výzkumu zasahuje z větší části do vozovky. Bylo provedeno 31 profilů o délce 30 m, jejichž výsledky byly vizualizovány do plochy  $30 \times 10$  m (Příloha 2, 4). Nejzajímavější anomálie, která odpovídala zdivu o šířce 2 m vyskytujícímu se v hloubce 0,6 m a níže se nacházela na jihozápadní straně měřeného areálu. Nejlépe proto odpovídala hledané církevní stavbě. U další anomálie o rozměrech  $10 \times 3,5$  m se nabízela souvislost s vápennou jámou zachycenou v sondě S1/14 (Faltýnek et al., 2018).

## **4. Geofyzikální metody**

Geofyzika jako věda se využívá k pochopení Země a k jejímu studiu využívá principy fyziky (Kearey et al., 2002; Mussett a Khan, 2000). Podle Mareše et al. (1990) se na základě zkoumaného fyzikálního principu a charakteru pole dělí na další metody – geoelektrické (zkoumá geoelektrické pole), gravimetrické (tíhové pole), seismické (pole elasticích vln), magnetometrické (magnetické pole Země), geotermické (geotermické pole), radiometrické (radioaktivní pole), (Mareš et al., 1990; Mašín a Válek, 1963). S pomocí geofyzikálních metod pak můžeme provádět nedestruktivní výzkum a získat tak poznatky o vnitřní stavbě Země, vývoji kontinentů či vzniku horských pásem (Mussett a Khan, 2000). Na základě podmínek a způsobu použití pak mohou být geofyzikální metody využity při letecké prospekci, pozemním či vrtném průzkumu atd., kdy každá z těchto variant má své zvláštnosti (měřicí přístroj, metoda měření či interpretace). Např. ke správné interpretaci výstupních dat je potřeba znalostí z geologie a principů fyziky (Mareš et al., 1990). Vzhledem k tomu, že se geofyzikální technika neustále vyvíjí, lze geofyzikální metody aplikovat také v archeologii, při inženýrsko-geologickém průzkumu, hydrologii atd. (Mareš et al., 1990; Mussett a Khan, 2000; Válek et al., 1972).

### **4.1. Geofyzika v archeologii**

Historicky je rok 1946 jakýmsi výchozím bodem začátku aplikací geofyzikálních metod v archeologii (Kuna et al., 2004).

Při archeologické prospekci lze využít jak destruktivní, tak i nedestruktivní metody. Destruktivní se užívají zejména při záchranných či badatelských archeologických výzkumech. Především jde o výkopové práce (odkryv, exkavaci), (Mareš et al., 1990). Výhodou použití nedestruktivních metod v archeologii je možnost efektivního prozkoumání relativně rozsáhlé oblasti za krátkou dobu a s nízkými náklady (Hašek a Meřínský, 1991; Kvamme, 2005). Můžeme tedy nahlédnout pod zemský povrch, aniž by došlo k jeho narušení (Mareš et al., 1990; Mussett a Khan, 2000). Pomocí nedestruktivních geofyzikálních metod dokážeme identifikovat archeologické struktury pod zemským povrchem a zmapovat je (Kvamme, 2005).

Úspěšné použití geofyzikálních metod v archeologii a následná interpretace výsledků je závislá na různých podmínkách, které je třeba znát a dodržovat, i když ne vždy jsou splnitelné. Důležitá je především dostatečná odlišnost fyzikálních vlastností mezi geologickým podložím a hledanými archeologickými objekty (Kuna et al., 2004). Další jsou: dochování antropogenních

vrstev / objektů pod povrchem, rozměry a množství archeologických objektů (i jejich tvar či orientace), tvar terénu, vegetační pokryv, absence cizích (mladších) objektů (případně jejich snadné odlišení), znalost geologické stavby území (i geologických procesů), znalost půdního horizontu a půdních procesů ve zkoumané lokalitě atd. (Křivánek, 2013; Kuna et al., 2004).

Při kombinaci více metod (především magnetometrie, georadar a geoelektrické odporové metody), je možné lépe řešit danou problematiku. Každá metoda totiž zkoumá různé fyzikální vlastnosti a jejich kombinací získáme více dat k posouzení (Machová et al., 2017).

V archeologii je možné využít různé geofyzikální metody jako je magnetometrie, geoelektrické metody, gravimetrie, geotermické metody, seismické metody, radiometrie případně geofyzikální měření ve vrtech (karotáž), (Jankovič et al., 2014; Kearey et al., 2002). Nejpoužívanější je magnetometrie, geoelektrické odporové metody a GPR (Mareš et al., 1990; Mussett a Khan, 2000; Válek et al., 1972). V následující tabulce (Tab. 3) lze vidět jednotlivé geofyzikální metody a vhodnost jejich využití při detekci pravěkých terénních reliktů (Machová et al., 2017).

*Tab. 3: Vhodnost použití geofyzikálních metod při detekci pravěkých reliktů. ✓ - vysoký potenciál, ✓× - metoda úspěšná v závislosti na podmínkách, × - nevhodná metoda, upraveno (Machová et al., 2017).*

Objekt / metoda	Magnetika	SOP, VES	DEMP	GPR	Gravimetrie	Seismika
Sídlištění objekty, mělké prohlubně	✓	✓ ×	✓ ×	✓ ×	×	×
Hradby, valy	✓	✓	✓	✓	✓ ×	✓ ×
Příkopy	✓	✓	✓	✓	✓ ×	✓ ×
Kamenné struktury	✓ ×	✓	✓ ×	✓	✓ ×	×
Mohyly	✓	✓ ×	✓ ×	✓	✓ ×	✓ ×
Úvozy	✓	✓ ×	✓ ×	✓ ×	×	×
Hornická díla, doly, duté prostory	✗	✓	✗	✓	✓	✓

#### 4.1.1. Magnetometrie

Magnetometrie je jednou z nejstarších geofyzikálních metod, která patří k nejčastěji používaným metodám při plošné, nedestruktivní archeologické prospekci. Podle Kuny et al. (2004) položil v roce 1957 Kanadán J. Beshé teoretické základy magnetometrického průzkumu vypálených materiálů. O rok později se pak Angličan M. Aitken stal průkopníkem aplikace

magnetometrie v archeologii, který uskutečnil první magnetometrické měření na lokalitě Walter Newton.

Magnetometrie zkoumá různé magnetické anomálie, čili zkoumá magnetické pole Země a sleduje jeho případné lokální či regionální poruchy geomagnetického pole (Kearey et al., 2002). Pro archeologii je základem magnetometrie schopnost rozeznat anomálie od okolního prostředí na základě fyzikálních vlastností. Práce pomocí magnetometrie probíhají rychle, jsou ekonomické a mají vysokou produktivitu. Na rozdíl od jiných geofyzikálních metod lze prozkoumat velkou plochu (cca 0,5-10 ha / den). Základní fyzikální veličiny, které magnetometrie sleduje, jsou především absolutní či relativní totální magnetické pole  $T$  a jeho (vertikální) gradient  $\Delta T$ . Respektive jeho zdánlivá nebo objemová magnetická susceptibilita  $\kappa$ . Na měření magnetického pole se používají magnetometry (např. cesiový, gradiometr) a magnetická susceptibilita se měří kapametrem (Kuna et al., 2004, Machová et al., 2017).

Primárním cílem této metody je prospekce archeologických objektů skrytých pod povrchem. Použitím magnetometrických metod při archeologické prospekcí se nejčastěji vyhledávají a rozlišují různě veliké zahloubené objekty, jako jsou neopevněná / opevněná sídliště, hradiště, města, pohřebiště, mohyly, příkopy, ohrazení, jámy, systémy opevnění atd. Dále lze rozlišit žárové objekty (pece, jámy s vypáleným materiélem, odpadní haldy, ...), či identifikovat kovové předměty. Díky možnému plošnému průzkumu je možné zkoumat architektonické stavby, které mají cihlovou konstrukci (hrady, zámky, kláštery) nebo také jeskyně, komunikace či rondely (Kuna et al., 2004).

Příkladem je prokázání atypického systému příkopového ohrazení z pozdní doby bronzové v obci Brozany, díky plošnému magnetometrickému průzkumu (Křivánek, 2012). Další příkladem je využití magnetometrie na lokalitě Zámka, kde již v polovině 19. století bylo objeveno pravěké a raně středověké hradiště. Na přelomu let 2005 a 2006 pak došlo k magnetometrickému průzkumu, jehož cílem bylo identifikovat vnější osídlení hradiště (Křivánek, 2010).

#### **4.1.2. Geoelektrické metody**

V roce 1946 provedl Richard Atkinson první geoelektrické odporové měření na lokalitě Dorchester-on-Thames. V roce 1956 pak byla použita první speciálně vyrobená aparatura

Angličanem Anthony Clarkem. Ta byla použita pro geofyzikální průzkum v archeologii na lokalitě Curotio, Wiltshire (Kuna et al., 2004).

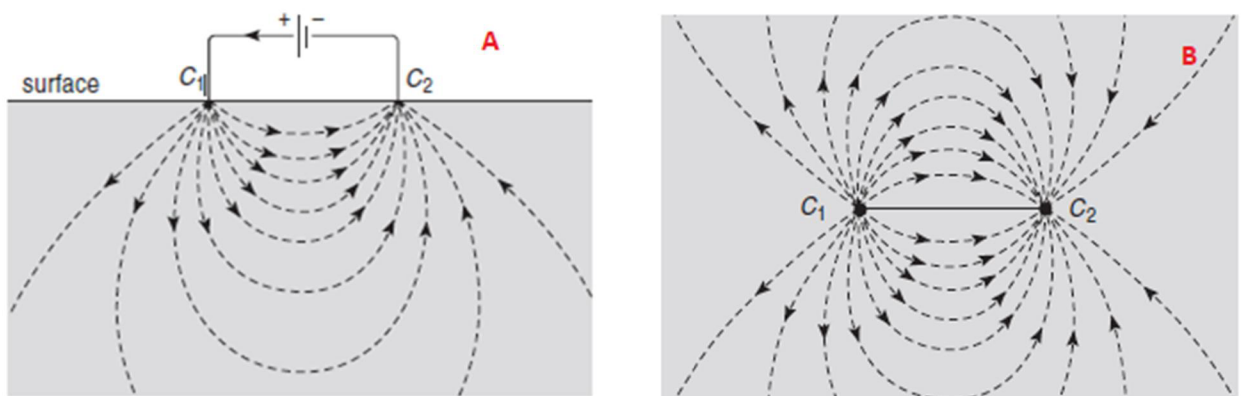
Podle Válka et al. (1972) jsou geoelektrické metody jednou z nejmladších součástí geofyzikálních metod, které sledují elektrické pole Země a jeho nehomogeneity. Využívají přirozené i umělé elektrické pole. Lze praktikovat měření jak po profilech na zemském povrchu, tak i z letadla (Machová et al., 2017; Mareš et al., 1990; Válek et al., 1972). Pomocí sondování, odporových metod či spontánní polarizace dále využívají vodivost i měrný odpor horninového prostředí (Sedláček, 2013). Dále sleduje pole stejnosměrného i střídavého proudu. Tato metoda je charakteristická svým vysokým počtem dílčích metod, díky čemuž má příznivé uplatnění v řešení geologických otázek (Mareš et al., 1990; Válek et al., 1972). Podle Mussetta a Khana (2000) lze tyto metody využít i pro prospekci minerálů, mapování kontaminantů, archeologickým průzkumům atd. Následující tabulka (Tab. 4) je zaměřena na rozdělení geoelektrických metod podle Válka et al., (1972).

*Tab. 4 Rozdělení geoelektrických metod podle Válka et al. (1972), upraveno.*

			Elektrická pole	
			Přirozená	Umělá
Pozemní měření	Elektrické pole Střídavého proudu	Stejnosměrného proudu	Metoda spontánní polarizace	Metoda odporová (profilování, vertikální elektrické sondování) a metoda nabitého tělesa
		Harmonické	X	Metody: TURAM, SLINGRAM, radiokip
		Neharmonické	Metody: telurická, magnetotelurická, AFMAG	X
Letecké měření	Elektrické Střídavého proudu	Studium přechodného jevu	X	Metoda vyzvané polarizace, metoda přechodného jevu
		Harmonické	X	Metoda indukce, metoda rotujícího elektromagnetického pole
		Neharmonické	Metoda AFMAG	X
Studium přechodového jevu			X	Metoda INPUT

Geoelektrické metody jsou další hojně využívané při archeologických průzkumech. Nejčastěji se využívají stejnosměrné a elektromagnetické geoelektrické metody (Machová et al., 2017; Mareš et al., 1990). Stejnosměrné metody zkoumají rozložení elektrického potenciálu či

jeho gradientu stejnosměrného proudu. Pomocí elektrod lze měřit elektrické pole za předpokladu galvanického spojení se zemí (Jankovič et al., 2014). Využitím měrného odporu a vodivosti, lze zjistit proměnlivost měrného odporu ve zkoumaném prostředí (Jankovič et al., 2014; Machová et al., 2017; Mareš et al., 1990; Mussett a Khan, 2000; Sedláček, 2013). Ze stejnosměrných metod je nejrozšířenější odporové profilování. Pokud sledujeme horizontální změny, jde o symetrické odporové profilování (SOP). Při sledování vertikálních změn, jde o vertikální sondování (VES). Záleží především na uspořádání elektrod během průzkumu (Machová et al., 2017; Mareš et al., 1990; Milsom, 2003; Mussett a Khan, 2000). Hlavním principem těchto metod je proudění elektřiny mezi horninami. Na obr. 9 je znázorněn průchod proudu mezi elektrodami ( $C_1$  a  $C_2$ ), které jsou uzemněny a na nichž je připojen zdroj stejnosměrného napětí. Obrázek A pak znázorňuje průchod elektrického proudu na vertikálním řezu a obrázek B zobrazuje horizontální průchod elektrického proudu horninou (Mareš et al., 1990; Mussett a Khan, 2000).



Obr. 9: A) průchod elektrického proudu na vertikálním řezu, B) horizontální průchod elektrického proudu horninou (Mussett a Khan, 2000), upraveno.

Podle Milsoma (2003) jsou základními měřenými a sledovanými veličinami: napětí ( $U$ ), elektrický proud ( $I$ ), měrný odpor ( $\rho$ ), měrná vodivost ( $\gamma$ ), polarizovatelnost ( $\eta$ ) a intenzita magnetického pole ( $H$ ). Základní fyzikální vlastnosti minerálů je pak elektrický odpor. Při jeho měření u hornin závisí tedy na mnoha faktorech: mineralogické složení horniny a její nasycení vodou. Dále závisí na její struktuře, textuře, tlaku či její teplotě (Mareš et al., 1990; Milsom, 2003). V následujících tabulkách (Tab. 5 a Tab. 6) je zobrazen přehled měrných odporů vybraných hornin a minerálů podle Mareše et al. (1990) a Mussetta a Khana (2000).

*Tab. 5: Měrné elektrické odpory vybraných sedimentárních, magmatických a metamorfovaných hornin (Mareš et al., 1990; Mussett a Khan, 2000), upraveno.*

Sedimentární hornina	Měrný odpor [Ωm]	Magmatické a metamorfované horniny	Měrný odpor [Ωm]
Hlíny	$10^{-1}$ až $10^2$	Žula, syenit	$10^2$ až $10^6$
Jíly	1 až $10^2$	Diabas, čedič, gabro	$10^2$ až $10^5$
Křída	50 až 150	Čedič	$10$ až $10^7$
Kvarcit	$10$ až $10^8$	Gabro	$10^3$ až $10^6$
Písky	$10^2$ až $10^4$	Krystalické břidlice	$10$ až $10^4$
Písky nasycené minerální vodou	$10^{-1}$ až 10	Jílovité břidlice	$10$ až $10^3$
Pískovce	$10$ až $10^8$	Křemence	$10^3$ až $10^5$
Vápence	$50$ až $10^7$	Mramory	$10^2$ až $10^8$
Opuky	$10$ až $10^2$	Ruly	$10^2$ až $10^4$
Slepence	$10$ až $10^4$		
Slín	1 až $10^2$		
Sádrovce	$10^4$ až $10^6$		
Štěrk	$10^2$ až 5000		

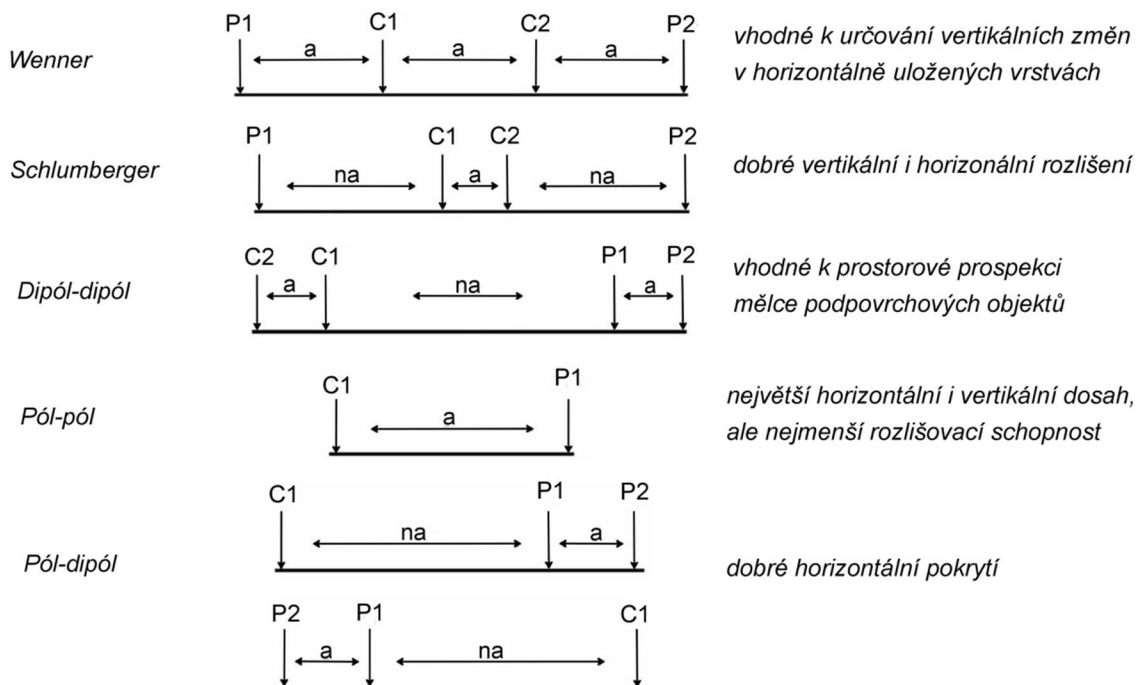
*Tab. 6: Měrné elektrické odpory vybraných minerálů a rud (Mareš et al., 1990; Mussett a Khan, 2000), upraveno.*

Minerály a rudy	Měrný odpor [Ωm]	Minerály a rudy	Měrný odpor [Ωm]
Galenit	$10^{-3}$ až $10^2$	Muskovit	$10^{12}$
Grafit	$10^{-4}$ až $10^{-3}$	Pyrit	$10^2$
Halit	$10$ až $10^{13}$	Ropa	$10^{10}$ až $10^{16}$
Hematit	$10$ až $10^5$	Sfalerit	$10^3$ až $10^6$
Chalkopyrit	$10^{-5}$ až 0.3	Siderit	$10$ až $10^3$
Kalcit	$10^8$ až $10^{12}$	Síra	$10^{13}$ až $10^{15}$
Křemen	$10^{10}$ až $2 \times 10^{14}$	Stříbro	$1.6$ až $10^{-8}$
Magnetit	1 až $10^5$	Sylvín	$10^{14}$ až $10^{15}$

Při odporovém profilování existuje řada kombinací, jak usporádat proudové a měřící elektrody (mají přesně definované rozmístění elektrod). Elektrody jsou také různě značeny: A, B,

C, ... (proudové elektrody); M, N, P, ... (měřící elektrody). Pomocí proudových (uzemňovacích) elektrod je pak do podloží zaveden elektrický proud ( $I$ ) a měřicími elektrodami následně změříme napětí  $\Delta U$  (Mareš et al, 1990; Mussett a Khan, 2000).

Kombinací odporového profilování a vertikálního sondování jde o multielektrodotové profilování (ERT = electrical resistivity tomography), které slouží k měření odporu zkoumaného horninového podloží. Při tomto měření je zapojeno více elektrod v jedné linii, podél které se zjišťují hodnoty měrného odporu (Milsom, 2003). Podle Mussetta a Khana (2000) lze při ERT použít různá roztažení elektrod, které mají rozdílné rozmístění (obr. 10).

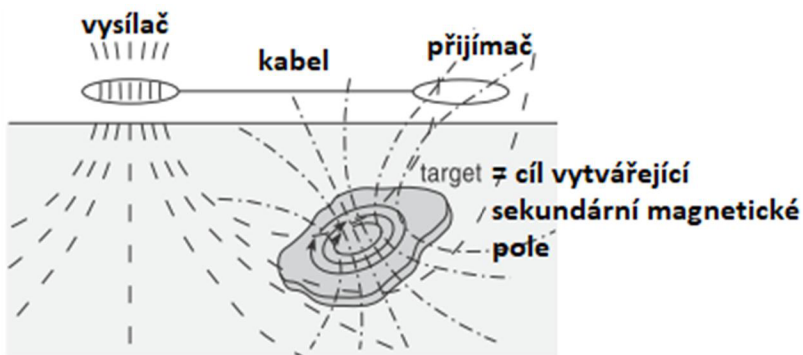


Obr. 10. Různé uspořádání elektrod při odporovém profilování. C1, C2 – centrální elektrody; P1, P2 – potenciálové elektrody; a – rozestup proudových elektrod; n – faktor, který určuje poměr vzdálenosti mezi C a P; na – v závislosti na rozestupu P (u každého měřicího uspořádání je různé). Upraveno z (Loke, 1999).

Jednou z dalších geoelektrických metod je elektromagnetické profilování (Mussett a Khan, 2000). Řadíme mezi ně dipolové elektromagnetické profilování (DEMP), georadar a magnetotelurické měření.

Elektromagnetické profilování je závislé na elektromagnetickém poli a fyzikálních vlastnostech měřených hornin (podloží). Používají se především v oblastech, které mají vysoký

odpor při povrchových vrstvách, které nelze změřit proudovými elektrodami (Mareš et al., 1990; Mussett a Khan, 2000). Pracují na principu elektromagnetické indukce (obr. 11). Vysílač (tvořený cívkou), zajišťuje napájení střídavým proudem, což vytvoří primární magnetické pole. Toto pole následně prochází jak nad zemí, tak i pod zemí. Pokud je v podloží detekován elektricky vodivý materiál, začne jím procházet střídavý proud, který vytváří sekundární magnetické pole a je na povrchu zjištěno primární cívkou na povrchu (Mussett a Khan, 2000).



Obr. 11: Princip elektromagnetické indukce (Mussett a Khan, 2000), upraveno.

Dipólové elektromagnetické profilování (DEMP) se provádí konduktometrem, který měří zdánlivou vodivost země. Zdrojem je magnetický dipól, vyvolaný malou cívkou, kterou prochází střídavý proud. Využívá magnetickou indukci (není nutný kontakt s povrchem). Tato metoda se využívá na hledání nehomogenit pod povrchem Země. Výhodou je rychlosť a dobrá rozlišovací prostorová schopnost (Mareš et al., 1990). Lze ji využít i v archeologii.

Při archeologickém průzkumu lze tyto metody použít pro prospekci různých památek, ale také před zahájením různých terénních prací (odkryvů), pro zmapování prostředí. Jejich použitím je možné vyhledávat jak zděné i kamenné konstrukce (sídlisť, hradiště, města) a různé liniové zahloubené objekty (příkopy, zdi, hradby), ale také i pod povrchové duté objekty (sklepy, studny, chodby). Dále lze zkoumat různá pohřebiště, hrobové komory, vyhledávat skříňkové hroby atd. Díky geoelektrickým metodám lze identifikovat terénní úpravy v místech, kde jsou vytěžené lomy, výrobní objekty, kamenné pece. Můžeme také rozlišovat zaniklé povrchové i pod povrchové těžené prostory (Kuna et al., 2004).

### 4.1.3. Seismika

Seismika poskytuje informace o geologické stavbě Země, jejích fyzikálních vlastnostech a složení. Je založena na přirozeně (zemětřesení) či uměle (exploze, úder závažím na povrch) vyvolaných elastických vlnách, které se od zdroje vyvolání vln šíří pod povrch všemi směry a pronikají do hloubky. Tím, že se vlny šíří heterogenním prostředím dochází k jejich lámání / odražení (refrakce / reflexe) na hranici geologického rozhraní (Kearey et al., 2002; Mareš et al., 1990; Válek et al., 1972). Podle Válka et al. (1972) platí, že u vyvřelých / metamorfovaných hornin je rychlosť šíření vln podstatně větší než u hornin s vysokou porozitou např. pískovce (Tab. 7). Doba příchodu odražené vlny, které se pak vrací na povrch, lze pomocí přístrojů změřit. Díky tomu, lze získat další informace jako třeba hloubku geologického rozhraní. Využívá se na určování horizontálních hranic mezi vrstvami (Mussett a Khan, 2000).

*Tab. 7: Rychlosť šíření seismických vln v horninách podle Mareše et al. (1990).*

Hornina nebo prostředí	Rychlosť $v_p$ ( $\text{m s}^{-1}$ )	Hornina nebo prostředí	Rychlosť $v_p$ ( $\text{m s}^{-1}$ )
Vzduch	310 až 360	Vápenec, dolomit	2600 až 6500
Rozvětralá půdní vrstva, štěrk, suchý písek	150 až 600	Anhydrit, kamenná sůl	4500 až 6000
Suchá jílovitá půda	300 až 900	Metamorfované horniny	4000 až 6000
Vlhký písek	600 až 1300	Žula	4000 až 6000
Voda	1430 až 1590	Gabro	6000 až 6500
Pískovec, jílovec	1500 až 4500	Peridotit	6500 až 7500

V archeologii lze tuto metodu uplatnit především při vyhledávání objektů ve velkých hloubkách, kam jiné metody nedosáhnou (Mussett a Khan, 2000).

## **5. Metodika**

### **5.1. Lokalita a vytipování prospekčních oblastí**

Prospekční oblast se nachází ve východní části intervilánu obce Moravičany, která se rozkládá na správovém návrší před soutokem Třebůvky s Moravou. Stojí zde farní kostel sv. Jiří s původním hřbitovem, který byl později rozšířen severním směrem (Faltýnek et al., 2018).

Vytipování vhodných ploch ke geofyzikální prospekci v této oblasti komplikovala skutečnost, že většina oblasti kolem kostela sv. Jiří není veřejná, tudíž je oplocená a nepřístupná. Oblast proto byla rozdělena na čtyři plochy.

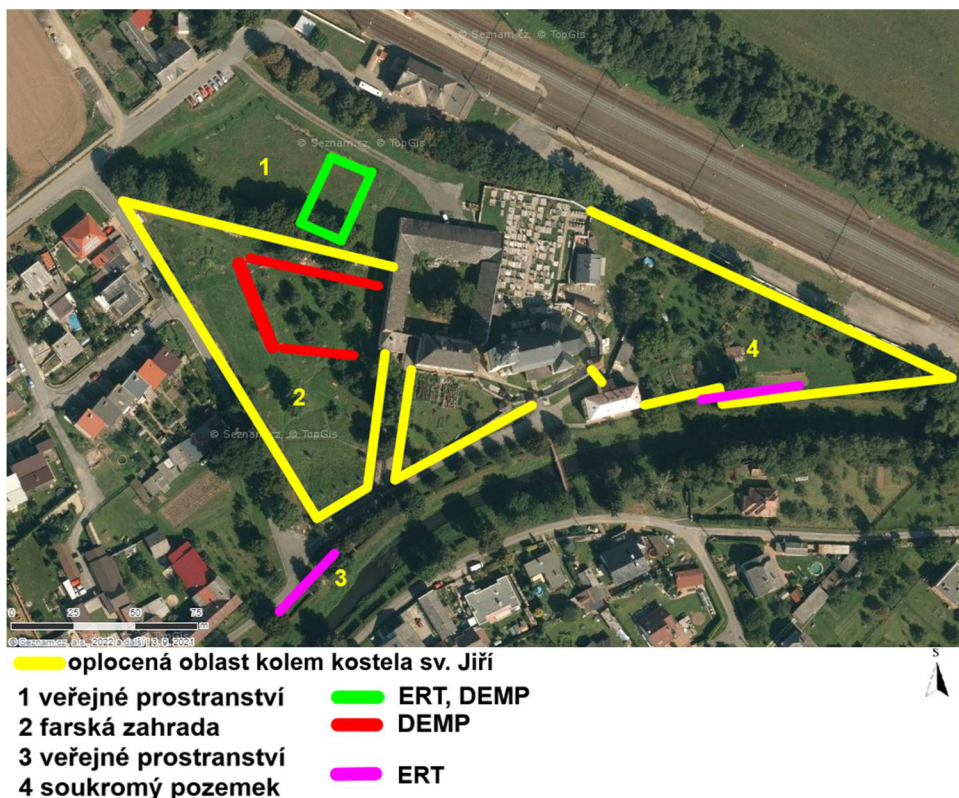
Plocha č. 1 je volně přístupná ležící mezi železniční stanicí na severu a farskou zahradou na jihu. Její jihovýchodní část přiléhá k farské stodole a pokračuje severozápadním směrem k pozemní komunikaci (obr. 12: 1). V tomto místě proběhlo jak ERT (Profily P1 – P4), tak i DEMP (plocha M1) měření. Původně se zde uvažovalo i o seismickém měření, od kterého bylo vzhledem k mělkému povrchu upuštěno. Cílem této prospekce bylo zachycení průběhu středověké hradby.

Plocha č. 2 je pozemek náležící k faře, která je dočasně uzavřena. Jedná se o farní zahradu (obr. 12:1), která se nachází JJZ směrem od železniční stanice Moravičany, její východní strana přiléhá ke stodole patřící k faře a západní a jižní strana kopíruje pozemní komunikaci vedoucí podél Třebůvky. Tato plocha je veřejně nepřístupná. Nicméně se zde podařilo provést tři elektromagnetická měření (profily M1 – M3), i když s časově omezenými možnostmi. Cílem této prospekce bylo možné zachycení zahľoubaných sídlištních objektů.

Plocha č. 3 (obr. 12: 3) se nachází JJZ směrem od farské zahrady. Jedná se o pás travnaté plochy protažen mezi pozemní komunikací na severu a říčkou Třebůvkou na jihu. Jde o pás travnaté plochy protažený severovýchodně směrem k farním pozemkům, který se nachází mezi pozemní komunikací na severu a říčkou Třebůvkou na jihu. Zde byl vytvořen jeden ERT profil (P5) a to v místě, kde už prospekce proběhla v roce 2013. Lze tak porovnat výsledky měření. Vzhledem k výskytu pozemní komunikace v přilehlém okolí se i zde upustilo od seismické prospekce.

Poslední vytyčenou plochou je plocha č. 4. Jedná se o soukromé zahrady (obr. 12: 4), které se táhnou podél silniční komunikace souběžné s železniční tratí ve směru SSZ-JJV. Zahrady jsou veřejně nepřístupné. Shodou okolností bylo možné v jedné zahradě, nacházející se

v nejjižnější části této plochy, provést jedno ERT měření (profil P6) i když s časovým omezením. Tato zahrada kopíruje protékající říčku Třebůvku na jejím levém břehu. V tomto místě se podle Šlézarova nákresu z roku 2017 (obr. 5) dá předpokládat zachycení průběhu koryta.



Obr. 12. Mapa studované oblasti s vyznačením situace kolem kostela sv. Jiří včetně provedené geofyzikální prospekce (www4), upraveno.

## 5.2. Terénní etapa

Během terénní etapy byla použita 1 – 3 měřící pásmo, využitá podle prováděného profilování. Jedno měřící pásmo bylo většinou zapotřebí ke stanovení délky profilu a jeho orientaci. Pokud šlo o vytvoření souběžných profilů, byla použita další měřící pásmo. Pro zaznamenání souřadnic profilů byl využit GPS lokátor. Dále byl použit nivelační přístroj, který se skládá z otočného dalekohledu připevněného na stativ, jehož součástí je i měřící lať. Tento přístroj posloužil k výškovému měření provedených profilů. Tato metodika je popsána i mé vlastní bakalářské práci, kde výzkum proběhl víceméně stejným způsobem (Tejkalová, 2017).

Za účelem geofyzikální prospekce byl použit automatický geoelektrický systém ARES (GF Instruments, ČR), vícerozsaňový elektromagnetický měřič vodivosti CMD-4 (GF

Instruments, ČR) a elektromagnetický měřič vodivosti CMD-Mini Explorer (GF Instruments, ČR).

### 5.2.1. ARES

Automatický geoelektrický systém ARES (GF Instruments, ČR) byl použit při vytváření ERT profilů. Tento geoelektrický systém byl využit pro stanovení a zobrazení měrného odporu podloží. Skládá se z řídící jednotky, multielektrodových kabelů, nerezových elektrod a T-kusu, který slouží k propojení řídící jednotky a multielektrodového kabelu. Pro jeho funkčnost je také zapotřebí externí 12V baterie (www1).

Pro úspěšnou prospeku bylo zapotřebí řádně uzemnit nerezové elektrody podél vytýčeného profilu, pro zajištění vodivého kontaktu s podložím (Obr. 12). Vzdálenost mezi elektrodami je dána tím, jakých chceme dosáhnout hloubek a rozlišení při prospeku. Na tyto elektrody následně za pomocí gumiček připevníme multielektrodové kably a s využitím T-kusu připojíme k řídící jednotce. S připojenou baterií pak můžeme začít s obsluhou tohoto přístroje a nastavit námi zvolené parametry měření. Pro profily v této diplomové práci bylo zvoleno Wenner-Schlumbergerovo nastavení (uspořádání elektrod). Před samotným měřením ještě dojde ke kontrole správnosti uzemnění elektrod. V případě špatného kontaktu s podložím je přístroj schopen tuto chybu zaznamenat a určit chybně uzemněnou elektrodu.

### 5.2.2. CMD-4

Pro měření metodou dipólového elektromagnetického profilování (DEMP) byl použit vícerozsahový elektromagnetický přístroj k měření vodivosti podloží CMD-4 (GF Instruments, ČR). CMD-4 se skládá z řídící jednotky a sondy. Řídící jednotka nabízí pět měřicích režimů – manuální, kontinuální, manuální s GPS, kontinuální s GPS a vyhledávací režim. Jde o bezkontaktně měřicí přístroj, díky němuž lze provést rychlé měření vodivosti a to za všech přírodních podmínek (i suchá a zmrzlá půda). Při použitém kontinuálním měření se data ukládala v intervalu každých 0,5 sekund. Přístroj, kterým byla měřena zdánlivá vodivost (mS/m), má rozlišovací schopnost 0,1 mS/m. Je také možné nastavit efektivní hloubkový dosah na režim „low“ (3 m), který byl použit, a režim „high“ (6 m), (www2).

### 5.2.3. CMD-Mini Explorer

Pro další měření vodivosti byl použit elektromagnetický měřič CMD-Mini Explorer (GF Instruments, ČR). S tímto měřičem je poměrně snadná manipulace. Skládá se jen z vodící tyče

s bluetooth adaptérem na jejímž konci je připevněna sonda (Obr. 12). Přístroj, který byl nastaven na režim „low“, lze nastavit také na režim „high“. Režim „low“ využívá k měření nízkých frekvencí. Díky tomuto přístroji je možné získat informace o horninovém podloží při jeho povrchu, jelikož měření je provedeno v 3 efektivních hloubkách, což poskytuje poměrně detailní obraz elektrické vodivosti vrstev v různých hloubkách podél profilu.

### 5.3. Laboratorní etapa

Naměřená data z ERT prospekce lze stáhnou z řídící jednotky do PC, kde jsou dále zpracována v systému Ares v 5.3. Data ze DEMP lze stáhnout přes USB do PC. Získaná data mohou být následně exportována do dalších interpretačních programů jako je Surfer 10 (Golden Software), RES2DINV (Geomoto Inc., Malajsie), případně RES3DINV (Geomoto Inc., Malajsie). Využitím programu Surfer 10 lze doplnit k datům nadmořské výšky, případně vytvořit vektorové 3D mapy. Program RES2DINV a RES3DINV lze využít k vytvoření 2D / 3D modelů pomocí interpolace naměřených dat, přičemž se nám vytvoří model měrného odporu inverzní metodou nejmenších čtverců. V kombinaci programů Corel DRAW a Zoner Photo Studio X byly modely dále zpracovány a využity při tvorbě mapových podkladů.



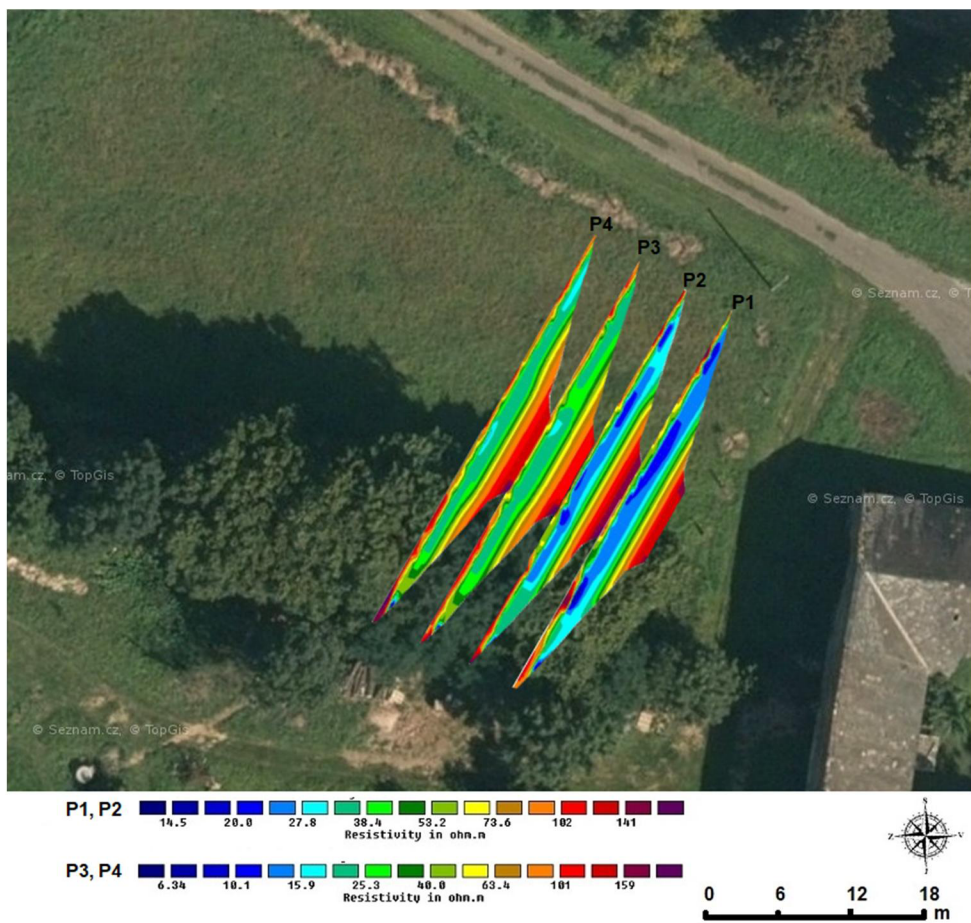
Obr. 13. A) CMD-Mini Explorer 6L, B) ERT prospekce, foto autor.

## 6. Výsledky

### 6.1. Elektrická odporová tomografie

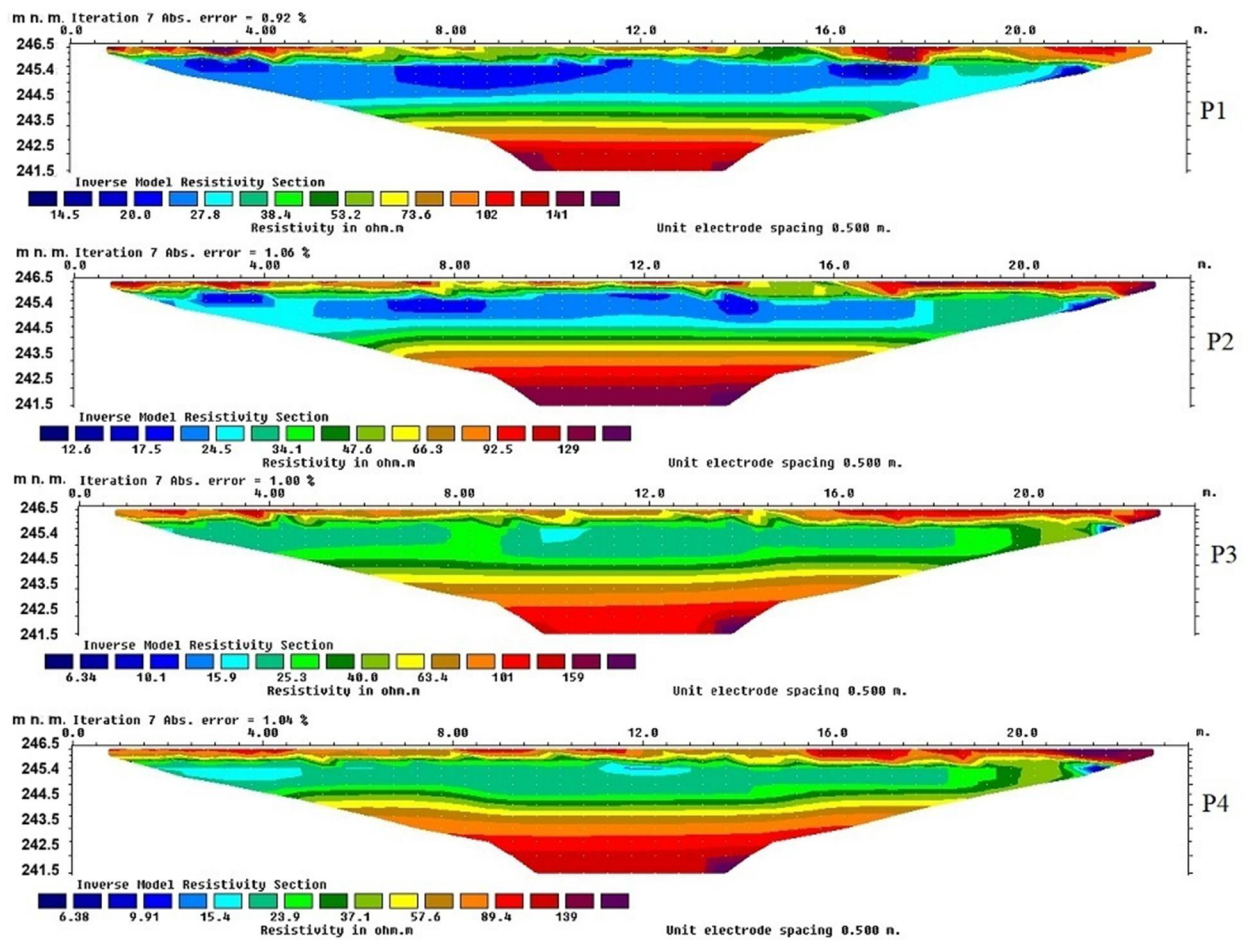
#### 6.1.1. Profily P1 – P4

Všechny tyto profily byly vedeny jihozápadním směrem do blízkosti oplocení farské zahrady. Délka jednotlivých profilů byla 23,5 m s 1 m rozestupem mezi profily a roztečí elektrod 0,5 m. U každého profilu byly zaznamenány GPS souřadnice (příloha 3) v počátku profilu a na jeho konci. Pro pozdější laboratorní zpracování dat bylo také zapotřebí změřit za pomoci nivelačního přístroje nadmořskou výšku. A to na jednotlivých profilech, kde byla nadmořská výška měřena na 0 m, 10 m, 20 m a 23,5 m. Nadmořská výška se v této oblasti u měřených profilů pohybuje mezi 246,25 – 246,95 m n. m (tab. 8).



Obr. 14. 2D profily P1 – P4 zanesené do plochy (www4), upraveno.

Hodnoty měrného odporu se u vytvořených 2D (obr. 15) profilů pohybují v mezi 10 a 150  $\Omega\cdot\text{m}$ . Inverze proběhla v 7 iteracích, přičemž se konečná hodnota RMS pohybuje mezi 0,9 – 1,1 %. U měřených profilů byly při povrchové vrstvě do hloubky  $\sim 0,8$  m zaznamenány hodnoty odporu  $\sim 50 \Omega\cdot\text{m}$  do  $\sim 145 \Omega\cdot\text{m}$ . Koncové části mezi  $\sim 20$  m –  $\sim 23,5$  m, které vykazují větší odporové hodnoty  $\sim 145 \Omega\cdot\text{m}$  jsou zřejmě způsobeny přesahem profilů přes mírný val táhnoucí se východozápadním směrem podél oplocené farské zahrady. Směrem do hloubky  $\sim 2,5$  m hodnoty měrného odporu klesají a pohybují se od  $\sim 10 \Omega\cdot\text{m}$  po  $\sim 35 \Omega\cdot\text{m}$ . Profily dosahují hloubky 5 m. Přičemž od  $\sim 2,5$  m hodnoty měrného odporu rovnoměrně stoupají směrem do hloubky. Pohybují se od  $\sim 55 \Omega\cdot\text{m}$  do  $\sim 140 \Omega\cdot\text{m}$ . Nízko odporové hodnoty potvrzují výskyt nivních hlín, pod nimiž se nacházejí vysoko odporové říční štěrky.



Obr. 15. 2D ERT profily P1 – P4.

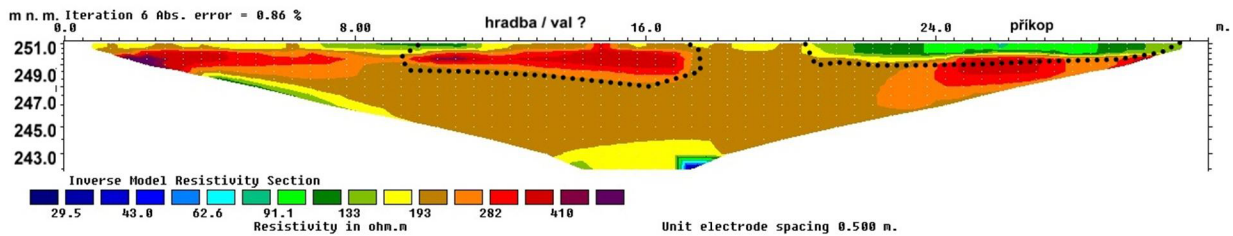
### 6.1.2. Profil P5

Profil P5 (obr. 16) vedený mezi pozemní komunikací a Třebůvkou (vedený jihozápadním směrem od kostela sv. Jiří) měl délku 31,5 m s rozpětím elektrod 0,5 m. I u tohoto profilu byly zaznamenány GPS souřadnice a naměřeny nadmořské výšky (příloha 3). Nadmořská výška profilu P5 klesá od jeho 0 m. Pohybuje se mezi 251 – 250 m n. m.



Obr. 16: Profil P5 vynesený do mapy se zachyceným zdí kanálu, upraveno www4 + foto autor.

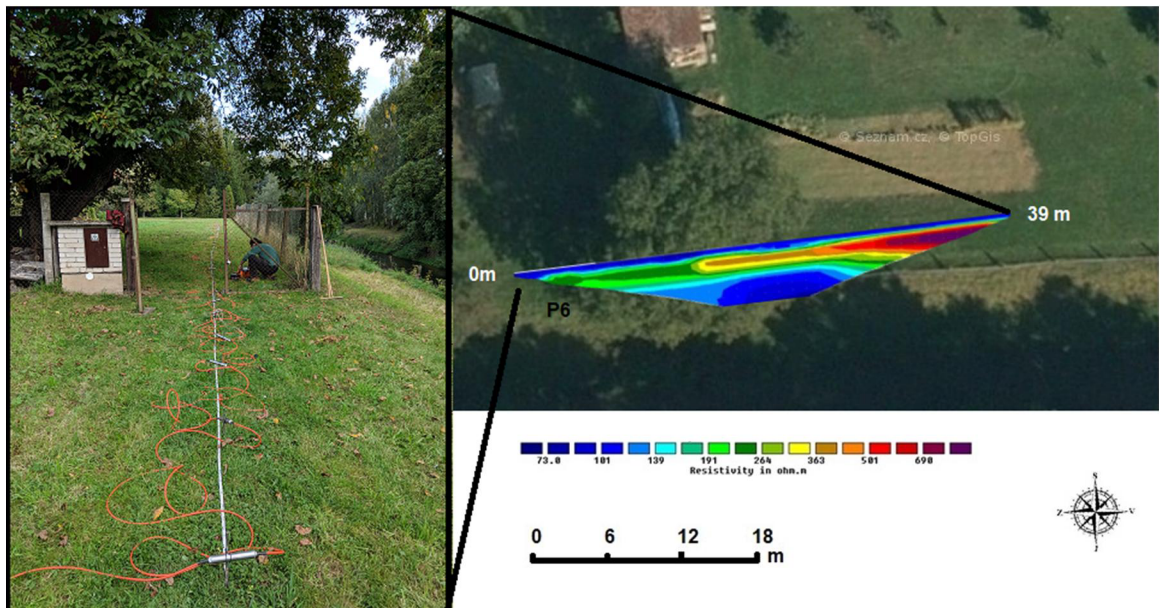
Hodnoty měrného odporu se u 2D profilu P5 (obr. 16) pohybují v mezi 90 a 410  $\Omega\text{.m}$ . Inverze pseudoprofilu proběhla v 6 iteracích, přičemž konečná hodnota RMS 0,86 %. Oproti předchozím profilům v místě s mělčím povrchem jsou tyto hodnoty vyšší. Tento profil dosáhl hloubky 6 m, přičemž už od  $\sim 1$  m se odporové hodnoty pohybují mezi  $\sim 160 \Omega\text{.m} - \sim 250 \Omega\text{.m}$ . Je možné, že tyto vysoké hodnoty mají co do činění s pozemní komunikací v těsné blízkosti vedeného profilu. Zajímavější jsou však anomálie zaznamenané při povrchu o hloubce  $\sim 1$  m. Odporová hodnoty mezi  $\sim 8$  a  $\sim 17$  m je  $\sim 300 \Omega\text{.m}$ . Tuto anomálii si můžeme vysvětlit jako zdivo kanálu / valu, který dříve v těchto místech vedl. Další anomálie s nižšími hodnotami rezistivity ( $\sim 90 - 120 \Omega\text{.m}$ ) v koncové části profilu ( $\sim$  od 22 m) mohou značit výskyt příkopu.



Obr. 17. ERT profil P5.

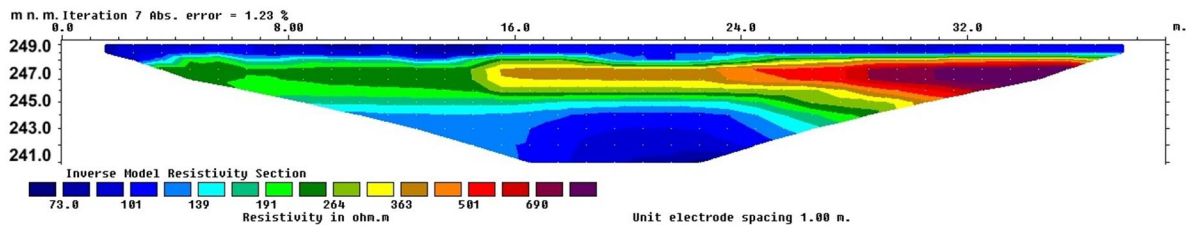
### 6.1.3. Profil P6

Posledním měřeným ERT profilem je profil P6 vedený v blízkosti kostela sv. Jiří přes soukromou zahradu (se souhlasem majitele). Profil P6 byl o délce 39 m nejdelším měřeným profilem s roztečí elektrod 1m (obr. 18) vedený JV od kostela sv. Jiří, podél Třebůvky. Opět zde byly zaznamenány GPS souřadnice a hodnoty nadmořské výšky. Výškové hodnoty se pohybují od 248 do 249 m n. směrem k 39 m.



Obr. 18: Profil P5 zanesený do mapy s fotografií jeho průběhu.

Hodnoty měrného odporu se u profilu P6 (obr. 19) pohybují v mezi  $\sim 60$  a  $\sim 700$   $\Omega\text{m}$ . Inverze pseudoprofilu proběhla v 7 iteracích, s konečnou hodnota RMS 1,23 %. Profil dosáhl hloubky téměř 8 m. Povrchová vrstva do  $\sim 1,2$  m a vrstva od  $\sim 4 - 8$  m vykazuje hodnoty mezi  $\sim 70$  a  $100$   $\Omega\text{m}$ . Zajímavější je zde však anomálie zaznamenaná v hloubce  $\sim 1,2$  m –  $\sim 4$  m. Směrem od 0 m se hodnota odporu postupně zvyšuje. Do 16 m se hodnoty rezistivity pohybují do  $\sim 200$   $\Omega\text{m}$ , mezi 16 – 24 m už dosahují hodnot  $\sim 300$   $\Omega\text{m}$  a od 24 m po 39 m už odpor dosahuje hodnot do  $\sim 700$   $\Omega\text{m}$ . Takto vysoké hodnoty mohou značit průběh přirozeného koryta vyplňeného štěrkem.



Obr. 19. ERT profil P5

## 6.2. Dipólové elektromagnetické profilování

Metoda DEMP byla použita na ploše č. 1 (obr. 12) proběhlo plošné měření (M1). Ve farské zahradě pak byly touto metodou vytvořeny 3 profily měrné vodivosti (obr. 20)

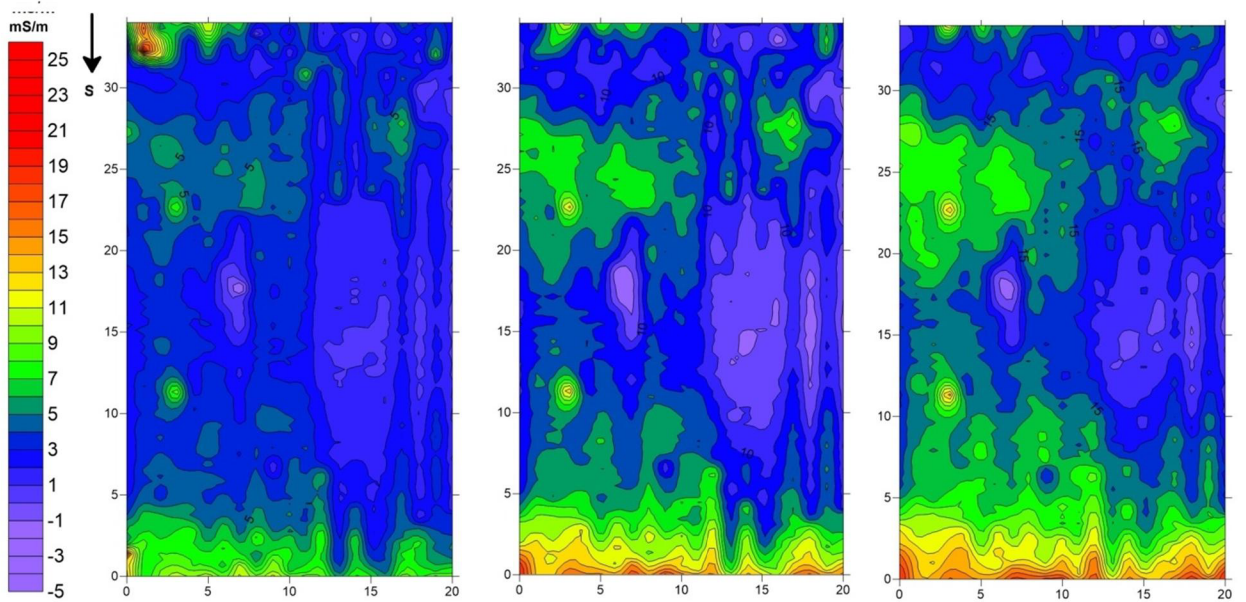


Obr. 20: Vytyčené CMD profily v mapě (www4), upraveno.

### 6.2.1. Plocha M1

V oblasti nacházející se mezi farskou zahradou a železniční stanicí bylo měřeno v ploše o rozměrech  $34 \times 20$  m (M1). Hodnoty zdánlivé vodivosti pro plochu M1 se pohybovaly od  $-5$  mS/m do  $25$  mS/m. Měření, které proběhlo za pomoci přístroje CMD-4 proběhlo v režimu low, který měří ve třech efektivních hloubkách (obr. 21). V okrajové části plochy od  $0$  m do  $\sim 5$  m byly zaznamenány vyšší hodnoty měrné vodivosti zvyšující se směrem do hloubky ( $\sim 10 - 25$  mS/m). Tato anomálie je vaku způsobena místem prospekce. Jedná se o okrajovou část pole, které zde zřejmě původně bylo a které je souběžné s „příjezdovou“ cestou vedoucí směrem ke hřbitovu. Lze zde předpokládat nivní sedimenty. Další anomálie se objevuje zhruba mezi  $20$  a

30 m, kde se opět s rostoucí hloubkou zvyšuje nepatrně měrná vodivost ( $\sim 5$  -  $\sim 10$  mS/m). I tato anomálie je zřejmě dána místem prospekce. V těchto místech byl terén porušen a zasypán.



Obr. 21. DEMP (M1) – výsledné zpracování naměřených hodnot ve třech efektivních hloubkách.

### 6.2.2 Profily M2 – M4

Ve farské zahradě byly vytvořeny 3 profily M2 – M4 za pomoci přístroje CMD-Mini Explorer nastaveným v režimu low, který měří ve třech efektivních hloubkách. Profily měly různou délku. Profil M2 vedený kolmo od stodoly přes farskou zahradu měl délku 49 m, a byl tudíž nejdelším měřeným CMD profilem. M3 vedený ssz-jjv směrem měl délku 34 m a profil M4 vedený cca ze středu zahrady směrem k jižnímu rohu stodoly byl dlouhý 27 m.

Na profilu M2 byly zaznamenány dvě anomálie. První se nachází mezi  $\sim 2$  –  $10$  m a druhá mezi  $\sim 20$  a  $35$  m, kde směrem do podloží stoupá měrná vodivost. Ve třech efektivních hloubkách byly zaznamenány rostoucí hodnoty od  $\sim 10$  do  $\sim 20$  mS/m. Vzhledem k naměřeným hodnotám je možné, že se zde nachází pozůstatek středověkého ohrazení.

V sz. části profilu M3 je patrná jedna anomálie s měrnou vodivostí  $\sim 20$  mS/m. Je možné, že v těchto místech kdysi probíhal příkop. Ostatní zaznamenané hodnoty se sic přibývající hloubkou zvyšují, drží se však hodnot kolem  $\sim 15$  mS/m.

Poslední M4 profil se vykazuje také relativně nízkými hodnotami zdánlivé vodivosti kolem od  $\sim 5$  do  $10$  mS/m a s přibývající hloubkou se hodnoty mírně zvyšují ( $\sim 12 - \sim 18$  mS/m). Nejhouběji dosahují hodnot až  $\sim 24$  mS/m. Tato anomálie je však v místě výskytu stromů farní zahrady.

## 7. Diskuze a závěr

Během terénní etapy byly vtipovány plochy, kde by mohl být zaznamenán průběh středověkého opevnění či příkopu s ohledem na dosavadní výzkumy, které na lokalitě Moravičany „Na Soutoku“ proběhy. Při prvním terénním měření však muselo dojít k improvizaci, vzhledem k zaplocení oblasti, skrz kterou vtipovaná plocha probíhala. V dostupné ploše mezi farní zahradu a železniční stanicí tudíž proběhlo jak ERT, tak i DEMP měření s cílem porovnání geofyzikálních metod, případně částečného zachycení příkopu, který se vyskytoval v blízkosti stodoly (Faltýnek et al., 2018), (kap. 3. 1. 2., obr. 8). I když se zde uvažovalo i o seismickém měření, vzhledem k blízkosti železniční stanice a mělkému prostředí byla tato metoda vypuštěna. Srovnáním ERT a DEMP měření lze tedy předpokládat alespoň výskyt nízko odporových nivních hlín. Drobné anomálie zachycené jak v ERT profilech byly zachyceny i v plošném DEMP měření.

Další měřený profil (P5) bylo možné porovnat s téměř totožným ERT profilem (P11) provedeným v roce 2013, na němž byly zaznamenány anomálie v podobě příkopu a hradby / valu (Faltýnek et al., 2018). Tyto anomálie se shodovaly i s anomáliemi z profilu P5 z vlastního měření. Nicméně odporové hodnoty se od  $\sim 1$  m do  $\sim 6$  m hloubky neshodují. Hodnoty rezistivity u vlastního měření se pohybují mezi  $\sim 160 \Omega \cdot \text{m}$  –  $\sim 250 \Omega \cdot \text{m}$ , kdežto u profilu P11 odpovídají spíše hodnotě  $\sim 120 \Omega \cdot \text{m}$ . (příloha 2.3.). I v této ploše prospekce se uvažovalo o seismickém měření, které se opět ukázalo jako nevhodné vzhledem k těsné blízkosti silniční komunikace.

Tím, jak se změnila situace kolem kostela, se značně zkomplikovalo vtipovávání dalších vhodných ploch k měření. Shodou okolností se podařilo provést jeden delší ERT profil v soukromé zahradě. V těchto místech měření ještě neprobíhalo, nicméně zde bylo teoreticky možné zachytit průběh středověkého ohrazení podle Šlézarova nákresu (obr. 5). Anomálie zde byla zaznamenaná a můžeme také uvažovat, že se jedná o nějaké přirozené koryto zasypané štěrkem, nicméně by zde bylo potřeba provést další geofyzikální měření. Dobrý záznam by mohlo poskytnout i plošně měření v těchto místech (jak ERT, tak i DEMP). Můžeme předpokládat, že jakékoliv destruktivní zkoumání zde není možné, vzhledem k tomu, že pozemek není obecní, ale patří do osobního vlastnictví.

O výsledcích z farské zahrady, můžeme jen spekulovat, vzhledem k rychlému a nedostatečnému měření. Díky měření z DEMPu lze však uvažovat, že zde mohl procházet příkop a je možné, že jsme jeho část zaznamenali. Nicméně by bylo dobré tyto výsledky podpořit ještě

nějakým geofyzikálním měřením a nevycházet jen z přibližné rekonstrukce hrazení podle Šlézarova nákresu (obr. 5).

Cílem této práce byla rekonstrukce středověké hradby. Z našeho provedeného měření můžeme pouze spekulovat o jejím výskytu jak ve farní zahradě, tak i na soukromém pozemku. Za jediná srovnatelná data můžeme považovat prospekci z roku 2013, kde došlo ke shodnosti nálezů.

Dalším cílem bylo také porovnání geofyzikálních metod a identifikace nevhodnější metody pro danou problematiku. Při geofyzikálních pracích byla použita elektrická odporová tomografie, dipólové elektromagnetické profilování a uvažovalo se i o seismice. Seismické měření se ukázalo jako nevhodná metoda pro tuto oblast, vzhledem k možnostem prospekcí. Elektrická odporová tomografie je poměrně oblíbená při archeologických prospekcích. Jedná se o metodu časově nenáročnou na průběh zaznamenávání dat, ovšem může být časově náročnější její příprava. Vše záleží na délce měřeného profilu a vzdálenosti rozteče elektrod. Čím kratší profil, tím rychlejší zaznamenání dat. U delšího profilu se zase můžeme dostat více do hloubky. Dipólové elektromagnetické profilování přístroji CMD-4 a CMD-Mini Explorer je asi časově nejméně náročné, vzhledem k tomu že se jedná o ručně přenosné zařízení. Díky němu se dá zachytit poměrně velká plocha v kratším čase než s ERT profilováním, kdežto ERT profilování má větší hloubkový dosah. Kromě vytyčení profilů a nastavení přístroje není nutná další příprava.

## **8. Seznam literatury**

- Bína, J., Demek, J. (2012):** Z nížin do hor: geomorfologické jednotky České republiky. – Průvodce, Academia, Praha, 344 s. (ISBN 978-80-200-2026-0)
- Čurda, J. (2001):** Hydrogeologie území. – In: Vysvětlivky k souboru geologických a ekologických účelových map přírodních zdrojů v měřítku 1 : 50 000, List 14-43 Mohelnice. Český geologický ústav, Praha, s. 21-53. (ISBN 80-7075-347-1)
- Demek, J., Mackovčin, P. (eds.), (2006):** Zeměpisný lexikon ČR. Hory a nížiny. – Vydání 2., AOPAK ČR, Brno, 580 s. (ISBN 80-86064-99-9)
- Demek, J., Mackovčin, P. (eds.), (2014):** Zeměpisný lexikon ČR. – Vydání 3. přepracované, Mendelova univerzita v Brně, Brno, 610 s. (ISBN 978-80-7509-113-0)
- Faltýnek, K., Novák., J., Šlézar, P. (2018):** Raně středověké osídlení v Moravičanech na Soutoku. – In: Přehled výzkumů, Archeologický ústav AV ČR Roč. 59, č. 2, Brno, s. 119-159.
- Hašek, V., Meřínský, Z. (1991):** Geofyzikální metody v archeologii na Moravě. – Muzejní a vlastivědná společnost, Brno, 190 s. (ISBN 80-85048-33-7)
- Chlupáč, I., Brzobohatý, R., Kovanda, J., Stráník, Z. (2002):** Geologická minulost České republiky. – 1. vydání, Academia, Praha, 436s. (ISBN 80-200-0914-0)
- Chlupáč, I., Brzobohatý, R., Kovanda, J., Stráník, Z. (2011):** Geologická minulost České republiky. – 2. vydání, Academia, Praha. 440s. (ISBN 978-80-200-1961-5)
- Jankovič, L., Dostál, P., Frýbová, P. (2014):** Geofyzikální metody měření v geotechnice. – Geodrill, Brno, 96 s. (ISBN 978-80-214-4910-7)
- Kalábková, P. (2016):** Sonda do pravěku Moravičan. – In: Zprávy Vlastivědného muzea v Olomouci, společenské vědy č. 312, s. 5-20. (ISBN 978-80-85037-80-7)
- Kearey, P., Brooks, M., Hill, I. (2002):** An introduction to geophysical exploration. – Wiley-Blackwell, 3rd edition, 288s. (ISBN 978-0632049295)
- Kouřil, P., Gryc, J. (2014):** Hradiska 10. – 12. století na severní Moravě a v českém Slezsku. In Funkcje grodów w państwach wczesnośredniowiecznej Eurpy środkowej. Wrocław–Głogów, s 99–171.

**Křivánek, R. (2010):** Geofyzikální průzkum hradišť Přerovská hůra a Zámka ohrožených stavebním záměrem. – In: Archeologické rozhledy LXII-2010, s. 480-491.

**Křivánek, R. (2012):** Přehled geofyzikálních měření na archeologických lokalitách Ústeckého kraje v letech 2009 – 2010. – In: Archeologické výzkumy v severozápadních Čechách v letech 2009 – 2010, Most, s. 251-260.

**Křivánek, R. (2013):** Možnosti uplatnění geofyzikálních metod při průzkumech archeologických lokalit v jižních Čechách. – In: Archeologické výzkumy v jižních Čechách, Supplementum 9. 167-178s.

**Kuna, M. et al. (2004):** Nedestruktivní archeologie: Teorie, metody a cíle. – Academia, Praha, 555 s. (ISBN 80-200-1216-8)

**Kvamme, K. L. (2005):** Terrestrial remote sensing in archaeology. – In: Handbook of archaeological methods 1, Lanham, s. 423-477.

**Machová, B., Šabatová, K., Milo, K., Bíško, R., Tencer, T. (2017):** Identifikace a dokumentace jako základ památkové ochrany pravěkých a raně středověkých nadzemních struktur. – Brno, 135 s.

**Loke, M. H. (1999):** Electrical imaging surveys for environmental and engineering studies. – A practical guide to 2-D and 3-D surveys, 61 s.

**Mareš, S. et al. (1990):** Úvod do užité geofyziky. – SNTL, Praha, 680 s. (ISBN 80-03-00427)

**Milsom, J. (2003):** Field Geophysics. Third Edition. John Wiley and Sons Ltd, London, 244 s. (ISBN 978-0470843475)

**Mísař, Z. et al. (1983):** Geologie ČSSR I, Český masív. – Státní pedagogické nakladatelství, Praha, 336s. (ISBN 14-403-83)

**Mussett, A. E., Khan, A. M. (2000):** Looking into the Earth – An Introduction to Geological Geophysics. – Cambridge University Press, New York, 492 s. (ISBN 978-0521785747)

**Sedláček, J. (2013):** Úvod do užité geofyziky. – Univerzita Palackého v Olomouci, Olomouc, 81 s.

**Svoboda, J. et al. (1964):** Regionální geologie ČSSR: Český masív. Krystalinikum, Díl 1, Svazek 1. – Československá akademie věd, Praha, 377 s.

**Šlézar, P. (2017):** Hradiště v Moravičanech „Na Soutoku“ v raném středověku. – In: Zprávy Vlastivědného muzea v Olomouci, Společenské vědy č. 314, s. 103-116. (ISBN 978-80-85037-86-9)

**Tejkalová, Z. (2017):** Geofyzikální výzkum hradiska Tepenec. – Univerzita Palackého v Olomouci, Olomouc, 32s.

**Válek, R., Gruntorád, J., Matolín, M., Mareš, S., Skopec, J. (1972):** Užitá geofyzika pro SPŠ hornické. – SNTL, Praha, 188 s.

## **9. Internetové zdroje**

www1: Ares – automatic resistivity systém. Dostupné z:

[http://www.gfinstruments.cz/index.php?menu=gi&cont=ares\\_ov](http://www.gfinstruments.cz/index.php?menu=gi&cont=ares_ov) (cit. 20. 5. 2019)

www2: CMD – multidepth electromagnetic conductivity meters. Dostupné z:

[http://www.gfinstruments.cz/index.php?menu=gi&smenu=iem&cont=cmd\\_&ear=ov](http://www.gfinstruments.cz/index.php?menu=gi&smenu=iem&cont=cmd_&ear=ov) (cit. 1. 11. 2022)

www3: CMD MiniExplorer Multidepth conductivity meter. Dostupné z:

<http://www.exiusa.com/item/electromagnetic/cmd-mini-61> (cit. 12. 10. 2020)

www4: Mapy.cz. Dostupné z:

<https://mapy.cz/letecka?x=16.9696203&y=49.7574023&z=18&l=0> (cit. 20. 5. 2019)

## 10. Seznam obrázků

Obr. 1. Vyšší geomorfologické jednotky České republiky (Bína a Demek, 2012), upraveno. ....	9
Obr. 2. Rozložení geomorfologických jednotek východní části Krkonoško-jesenické soustavy s vyznačením zájmové oblasti a jejich sousedních jednotek (Bína a Demek, 2012), upraveno. ....	10
Obr. 3. Mohelnická brázda a její okrsky (Bína a Demek, 2012). ....	11
Obr. 4. Profil sondy S1/63. 1) podložní jílovitá hlina, 2) černá jílovitá hlina, 3) tvořící pruh napříč sondou, 4) hnědočerná jílovitá hlina, 5) tmavě černá kyprá kulturní vrstva, 6) vrstva hrubšího štěrk, 7) jemný žlutý písek, 8) žlutošedá písčitá hlina (Faltýnek et al., 2018), upraveno. ....	14
Obr. 5: Přibližná rekonstrukce rozlohy hradiště (?). Tmavě šedá – opevněný areál, světle šedá – osídlený areál mimo opevnění podle Šlézara (2017). ....	15
Obr. 6. Polohy archeologických výzkumů v Moravičanech „Na Soutoku“: 1) sběry na hřbitově, faře a na farském dvoře, 2) výzkum z roku 1960, 2010 a 2014, 3) výzkum z roku 1963, 4) výzkum z roku 1963, 5) sběr z roku 1985, 6) sběr z let 1986-1987, 7) výzkum Národního památkového ústavu z roku 2013 (Šlézar, 2017). ....	16
Obr. 7. Polohy sondáži z roku 1960 (fialová), 1963 (červená), 2013 (modrá), 2014 (zelená) upraveno podle Faltýnka et al., (2018). ....	19
Obr. 8. Polohy profilů (P1 – P4, P6 – P11) a ploch (1/2014 a 1/2016) z geofyzikální prospekce z roku 2013, 2014 a 2016. Podle M. Monika, digitalizace J. Grégr (Faltýnek et al., 2018). ....	20
Obr. 9: A) průchod elektrického proudu na vertikálním řezu, B) horizontální průchod elektrického proudu horninou (Mussett a Khan, 2000), upraveno. ....	26
Obr. 10. Různé uspořádání elektrod při odporovém profilování. C1, C2 – centrální elektrody; P1, P2 – potenciálové elektrody; a – rozestup proudových elektrod; n – faktor, který určuje poměr vzdálenosti mezi C a P; na – v závislosti na rozestupu P (u každého měřicího uspořádání je různé). Upraveno z (Loke, 1999). ....	28
Obr. 11: Princip elektromagnetické indukce (Mussett a Khan, 2000), upraveno. ....	29
Obr. 12. Mapa studované oblasti s vyznačením situace kolem kostela sv. Jiří včetně provedené geofyzikální prospekce (www4), upraveno. ....	32
Obr. 13. A) CMD-Mini Explorer 6L, B) ERT prospekce, foto autor. ....	34
Obr. 14. 2D profily P1 – P4 zanesené do plochy (www4), upraveno. ....	35
Obr. 15. 2D ERT profily P1 – P4. ....	36
Obr. 16: Profil P5 vynesený do mapy se zachyceným zdívem kanálu, upraveno www4 + foto autor. ....	37
Obr. 17. ERT profil P5. ....	38
Obr. 18: Profil P5 zanesený do mapy s fotografií jeho průběhu. ....	38
Obr. 19. ERT profil P5. ....	39
Obr. 20: Vytyčené CMD profily v mapě (www4), upraveno. ....	39
Obr. 21. DEMP (M1) – výsledné zpracování naměřených hodnot ve třech efektivních hloubkách. ....	40

## **11. Přílohy**

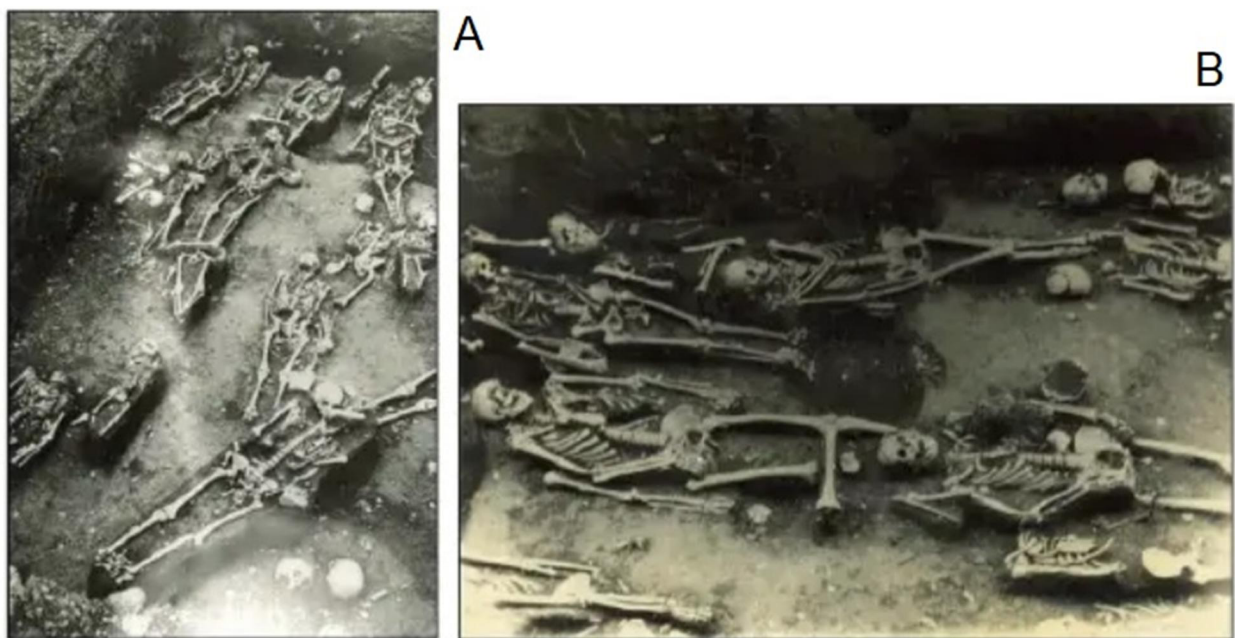
Příloha 1 – Sondové nálezy

Příloha 2 – Geofyzikální nálezy z let 2013, 2014 a 2016

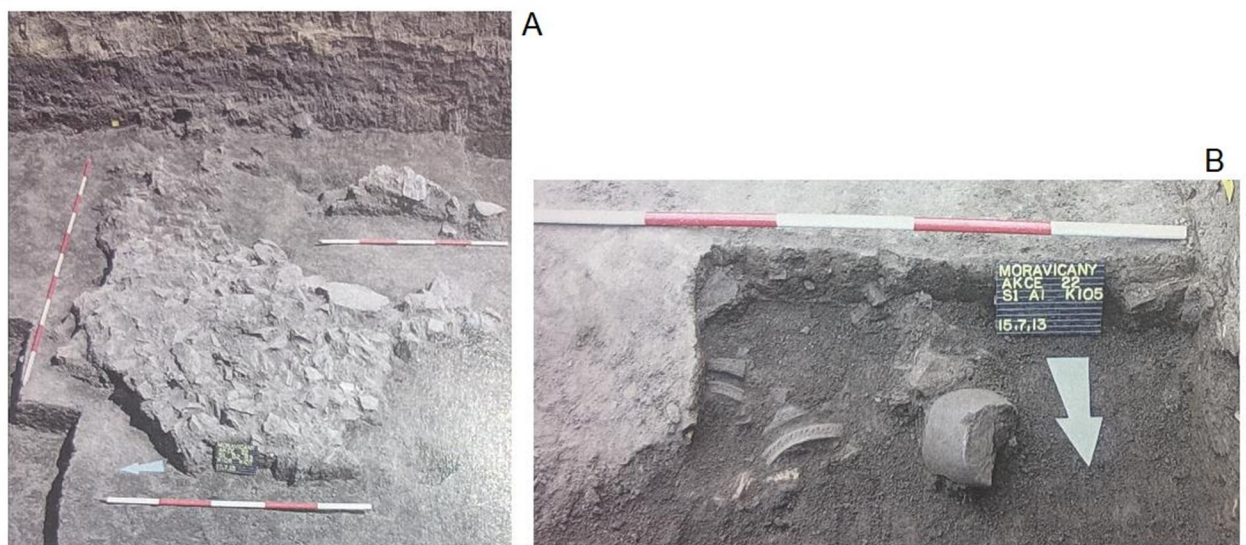
Příloha 3 – GPS souřadnice a naměřené nadmořské výšky

Příloha 4 – DEMP (M2 – M4)

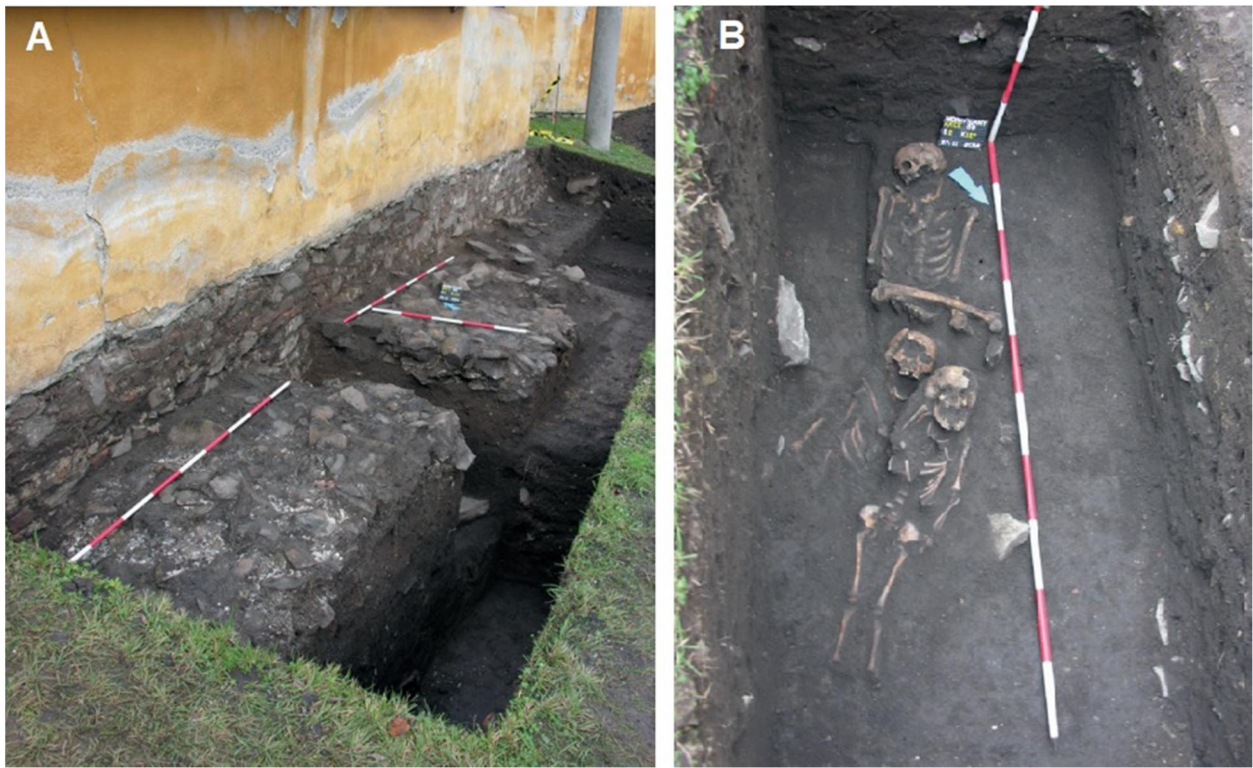
## Příloha 1 – Sondové nálezy



Příloha 1. 1. Nalezené kostrové hroby ze sondy S1/60 z roku 1960. A - foto z archivu J. Adamce, B – foto z pozůstalosti J. Horkého (Faltýnek et al., 2018), upraveno.

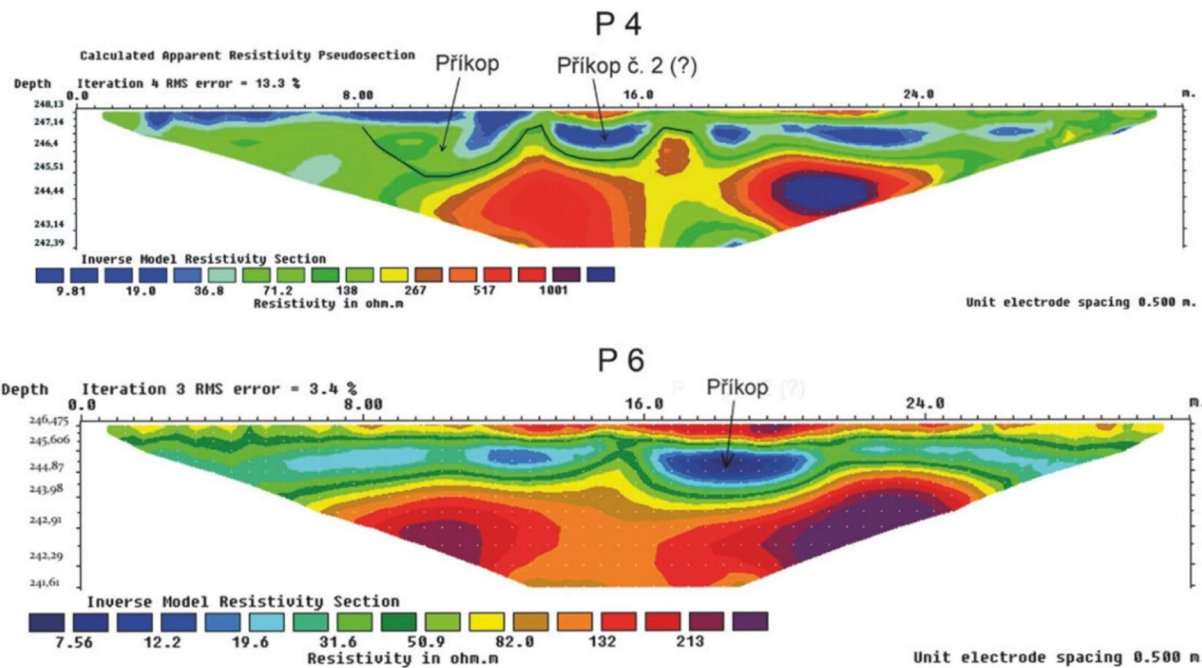


Příloha 1. 2. A) kamenná destrukce, B) torzo keramických nádob. A i B v horizontu I. pol. 13. stol. (Faltýnek et al., 2018), upraveno.

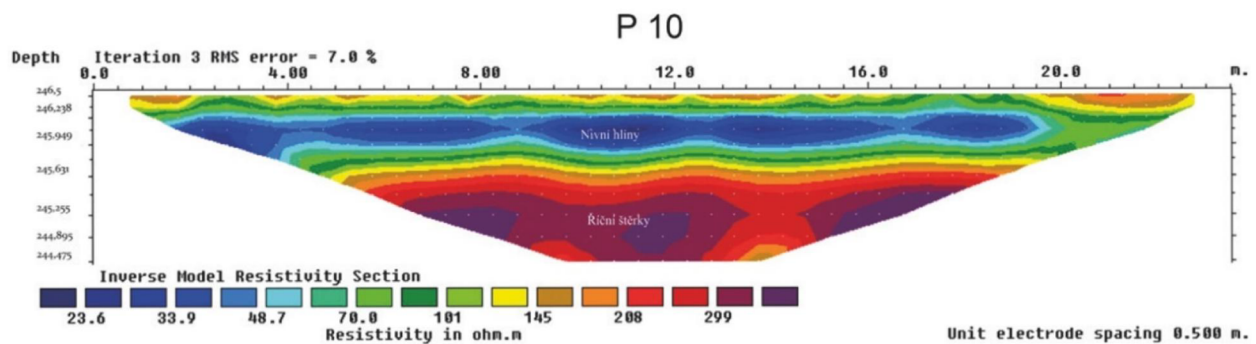


Příloha 1. 3. A – jihozápadní část sondy S1/14 s vrstvou kamemí (destrukce?), B – kostrové hroby v severovýchodní části sondy S1/14 (Faltýnek et al., 2018), upraveno.

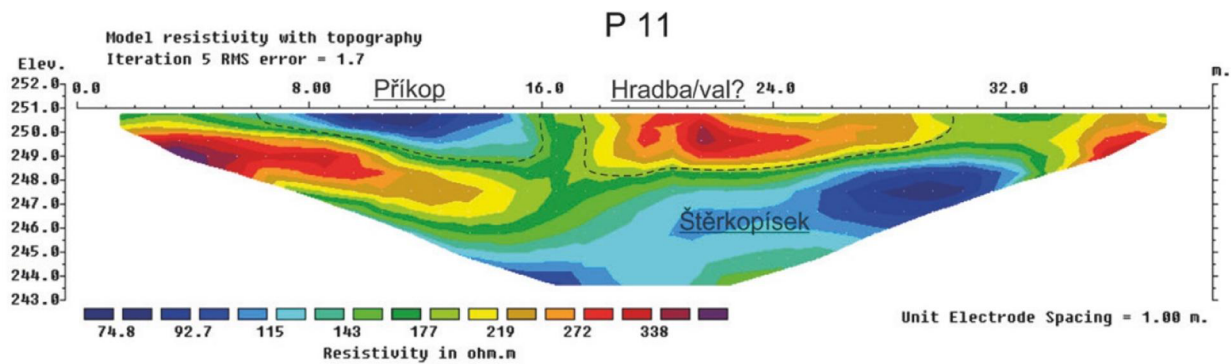
## Příloha 2 – Geofyzikální nálezy z let 2013, 2014 a 2016



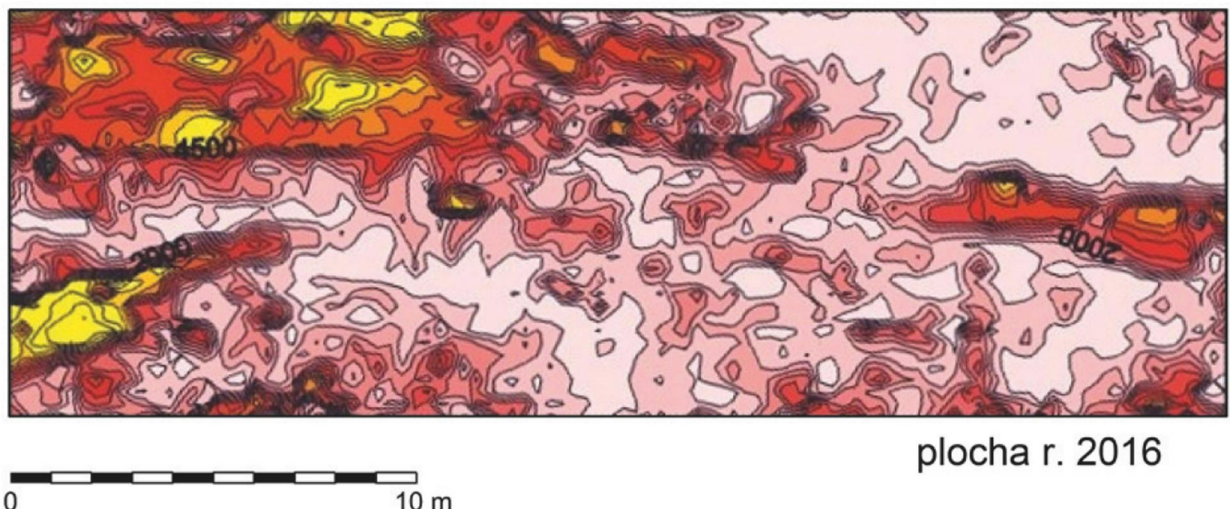
Příloha 2. 1. Geofyzikální prospecky z roku 2013 (profily P4 a P6) podle M. Moníka, digitalizace J. Grégr (Faltýnek et al., 2018).



Příloha 2. 2. Geofyzikální prospecky z roku 2013 (profil P10) podle M. Moníka, digitalizace J. Grégr (Faltýnek et al., 2018).



*Příloha 2. 3. Geofyzikální prospekce z roku 2014 (profil P11) podle M. Monika, digitalizace J. Grégr (Faltýnek et al., 2018).*



*Příloha 2. 4. Geofyzikální prospekce z roku 2016 (plocha 1/2016) podle M. Monika, digitalizace J. Grégr (Faltýnek et al., 2018).*

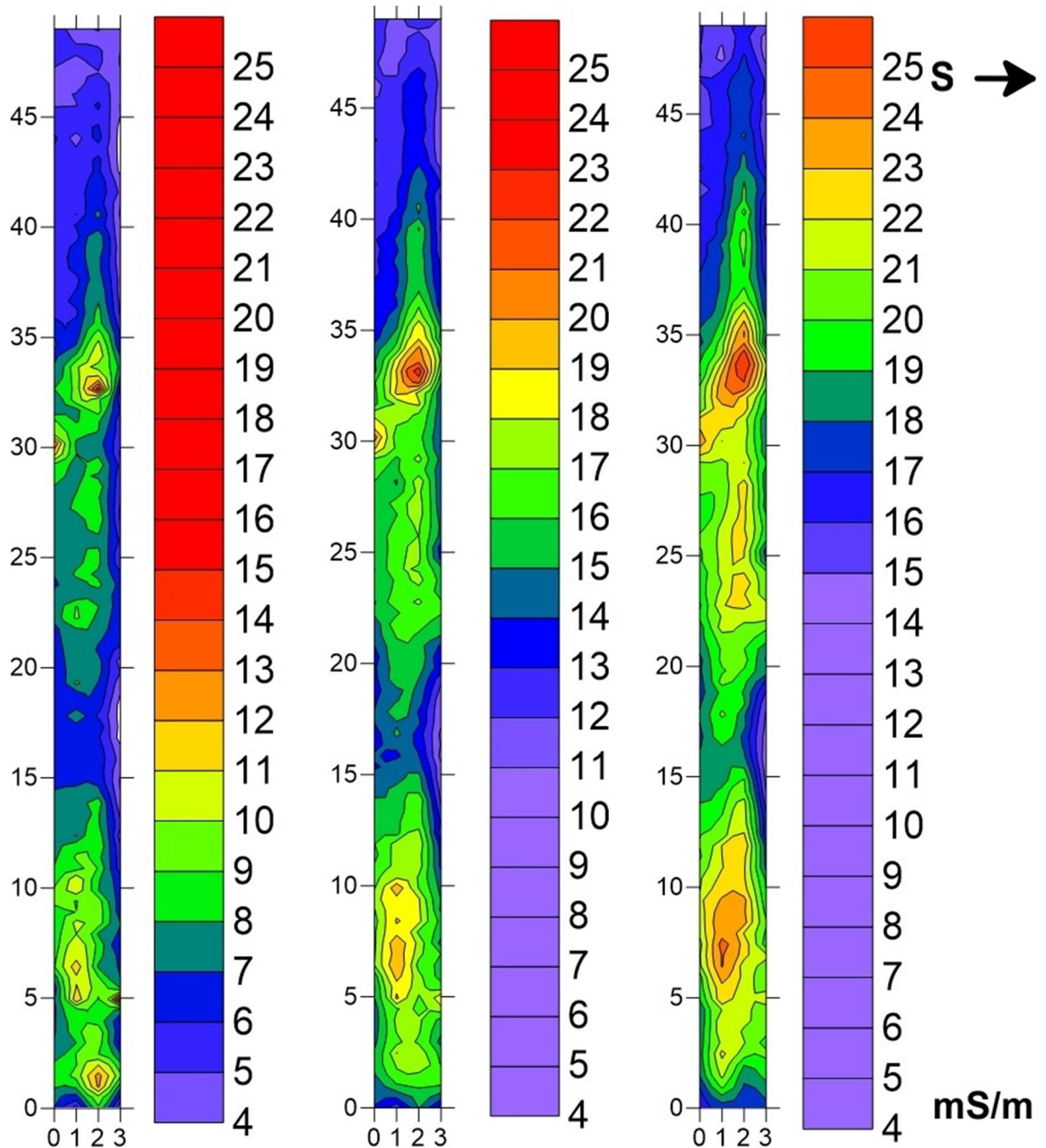
### Příloha 3 – GPS souřadnice a naměřené nadmořské výšky

Název profilu	GPS souřadnice	Rozestupy při měření nadmořských výšek (m n. m.)			
		0 m	10 m	20 m	23,5 m
P1	49.757722, 16.968011 49.757597, 16.967861	246,46	246,34	246,54	246,31
P2	49.757732, 16.968007 49.757603, 16.967855	246,42	246,33	246,47	246,95
P3	49.757737, 16.967992 49.757611, 16.967840	246,37	246,25	246,42	246,89
P4	49.757743, 16.967975 49.757618, 16.967830	246,33	246,25	246,34	246,88

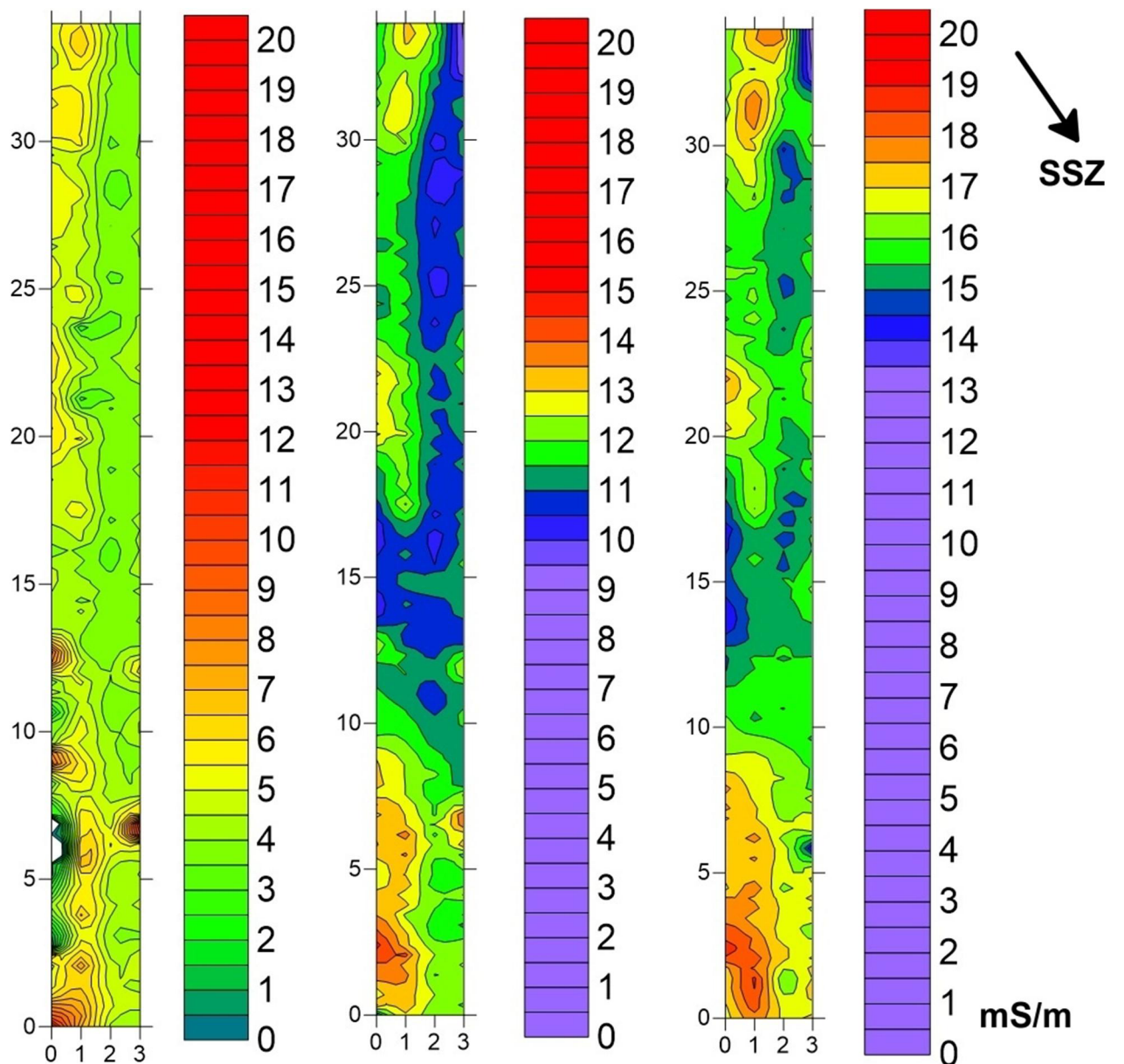
Název profilu	GPS souřadnice	Rozestupy při měření nadmořských výšek (m n. m.)			
		0 m	10 m	20 m	31,5 m
P5	49.756397, 16.967740 49.756262, 16.967585	250,33	250,75	250,64	250,98

Název profilu	GPS souřadnice	Rozestupy při měření nadmořských výšek (m n. m.)			
		0 m	13 m	26 m	39 m
P6	49.756944, 16.969857 49.756980, 16.970381	248,35	248,52	248,64	248,91

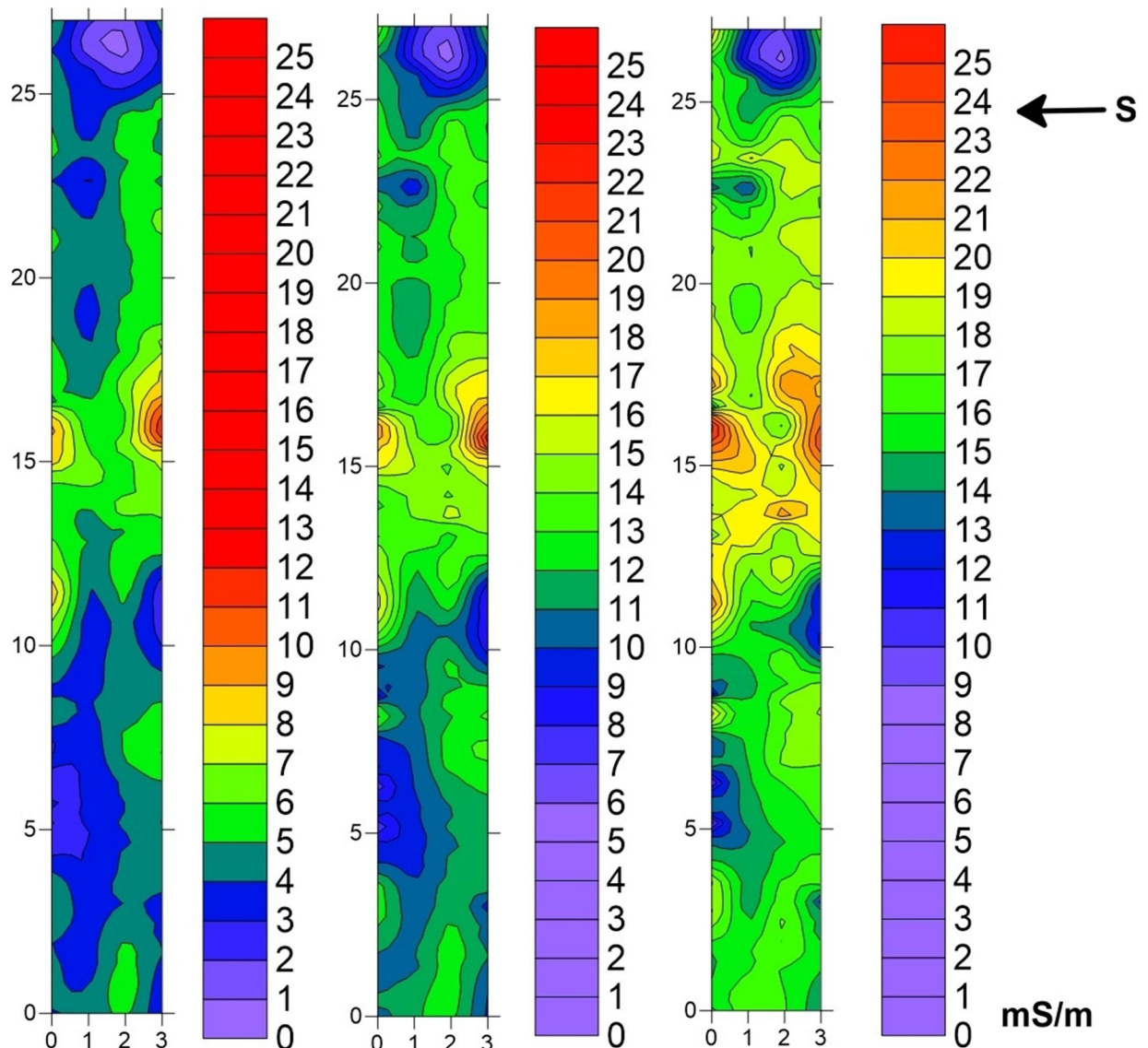
#### Příloha 4 – DEMP (M2 – M4)



Příloha 4. 1. DEMP (M2) – výsledné zpracování naměřených hodnot ve třech efektivních hloubkách



Příloha 4. 2. DEMP (M3) – výsledné zpracování naměřených hodnot ve třech efektivních hloubkách



Příloha 4. 3. DEMP (M4) – výsledné zpracování naměřených hodnot ve třech efektivních hloubkách